

Catalogue des Animaux cécidogènes de la Seine-Maritime.

Cédric POUCHARD - 2024



Nombreuses galles sur du gaillet jaune provoquées par *Geocrypta galii* à Paluel

Introduction

Les zoocécidies sont des cécidies provoquées par des organismes appartenant au Règne animal (il existe aussi des galles provoquées par des champignons, des bactéries ou des virus qui ne seront pas traitées ici). Ces excroissances tumorales produites sur des organes végétaux autour d'un commensal ou d'un parasite de la plante concernée sont couramment appelées des galles.

Généralement associée à la botanique, la cécidologie est une discipline qui permet

d'identifier une multitude d'organismes dont la biologie est intimement liée aux végétaux.

Les cécidies sont provoquées par des phénomènes complexes dont cet écrit n'est pas l'objet. Toutefois chaque cécidie est spécifique à un taxon qui recherche une plante hôte précise (espèce unique ou espèces de la même famille). La plupart du temps, chaque cécidie est susceptible d'accueillir une foule d'animaux parasites, commensaux (inquilines) ou prédateurs devenant un micro écosystème. Il convient donc de préciser que le présent

catalogue ne s'intéressera qu'aux taxons cécidogènes, qui, littéralement, engendrent la galle et non aux espèces qui les exploitent.

De même, pour nombre d'auteurs, toute anomalie du végétal d'origine parasitaire telle une atrophie, une boursoflure, un érineum (développement anormal de poils feutrés), une crispation du feuillage récurrente, etc., doit être considérée comme une cécidie. Pour certains, les traces caractéristiques des larves mineuses phyllophages peuvent être considérées comme des cécidies.

Pour ce catalogue, à l'instar de Dauphin & al, nous excluons les larves mineuses et les insectes parasites ne provoquant pas de déformations visibles (l'affaiblissement d'une tige de rosier par des cochenilles par exemple n'est pas retenu comme une cécidie).

Cette science est, au-delà des concepts biologiques, une invitation pour le naturaliste amateur ou pour le biologiste confirmé à ne pas considérer un groupe taxonomique à part entière mais un groupe qui se définit par son interaction avec les végétaux. Elle est l'occasion de découvrir des organismes qui demeurent la plupart du temps peu visibles autrement que par ces indices botaniques. C'est un excellent moyen de matérialiser la complexité de la biodiversité même dans des écosystèmes a priori banals.

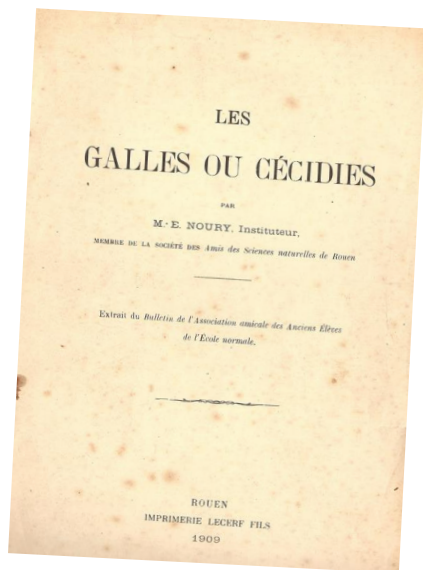
Enfin, la Normandie est une terre de cécidologie. La région comptait entre la fin du 19^e siècle et le début du 20^e parmi les plus grands spécialistes de cette science et ceux-ci ont contribué à sa popularisation et à la description de nombre d'espèces.

Leur travail est conséquent et il semble donc opportun de compiler les données anciennes, de tenter de les interpréter (selon les synonymies et les critères de détermination actuels) et d'y adjoindre nos propres observations contemporaines.

Méthodologie et résultats

Traditionnellement en cécidologie, l'organisation des observations se fait par organismes hôtes. Cette approche est très pratique pour la détermination, mais il nous semble cependant plus opportun, dans une logique de connaissance de la biodiversité locale, d'organiser ce document selon la taxonomie de l'animal cécidogène, à l'instar des travaux récents belges et luxembourgeois.

Pour la bibliographie ancienne, nous avons tâché de rassembler le maximum d'articles anciens publiés par les associations locales savantes ou de retrouver quelques citations dans des articles de revues botaniques ou horticoles. Prises de contact auprès des muséums d'histoire naturelle de Rouen et d'Elbeuf ainsi que consultations des ressources disponibles sur internet (Gallica et Google books en particulier), nous ont permis de parcourir de nombreuses références bibliographiques. Cependant, nous n'avons pas pu explorer certains articles de Noury ou de Martel non encore accessibles. Cette difficulté a toutefois été largement compensée par la consultation des données compilées par Mouillé en 1980 dans un catalogue des diptères de Normandie. Ce travail non publié rassemble, en effet, divers écrits anciens et s'appuie sur les collections privées et publiques disponibles. De fait, les travaux et collections de Noury et de Martel y sont référencés très largement. Un problème s'est toutefois posé : des cécidies strictement méditerranéennes ont été indiquées comme provenant de Buchy sans mention de date de prélèvement. Noury habitait Buchy. Nous avons donc choisi d'écarter toutes les données de la collection de Noury si elles ne portaient que la mention Buchy sans autre précision. Enfin, afin d'éviter des doublons, nous n'avons pas repris les mentions de Kieffer par Mouillé puisque nous avons pu directement analyser l'article de 1899 dont il est question.



Extrait d'un article original d'E. NOURY

Précisons que certains taxons considérés autrefois comme cécidogènes sont aujourd'hui décrits comme des inquilines. De fait, nous les avons exclus de ce catalogue qui se veut être le reflet de la connaissance actuelle de la biodiversité.

Ce catalogue ne reprendra pas dans le détail chaque donnée historique (**avant 2000**) mais citera la source de la donnée référente. En revanche, pour les données contemporaines (à partir du 1^{er} janvier 2000 **jusqu'au 1^{er} décembre 2023**), pour chaque référence la source, le nom de la commune seinomarine concernée et l'année d'observation seront indiquées.

Pour les citations contemporaines, en plus de nos notes personnelles, les travaux de Jacques Grancher ont été déterminants pour le relevé des coléoptères cécidogènes et la compilation d'observations diverses par les sites internet collaboratifs inaturalist et insecte.org (eux-mêmes repris par l'Inventaire National du Patrimoine Naturel) a permis de pointer plusieurs taxons non revus ou nouveaux pour le département.

La taxonomie employée est celle du référentiel taxonomique national français TAXREF v16.

L'organisation des classes (phylum pour les nématodes), des ordres et des familles suit la classification phylogénétique retenue par l'INPN, puis genres et espèces sont présentés par ordre alphabétique.

Pour chaque espèce (ou groupe d'espèces parfois), la présentation s'organisera de cette façon :

0. Nom scientifique de l'espèce [Code TAXREF v16] :

Courte description des critères de reconnaissance de la zoocécidie avec souligné le nom du végétal affecté et la partie de son organisme à observer.

📖 Références historiques (avant 2000)

📍 Observations contemporaines (après 2000). CP désigne Cédric POUCHARD.

Parfois une photographie de l'auteur sera associée au taxon à la suite du texte descriptif.

Ce catalogue n'est pas un atlas. Il n'en a ni la prétention, ni l'objectif. L'idée est de faire un bilan de la diversité départementale de ce groupe biologique. Ainsi, nos prospections personnelles n'ont pas eu pour objet de relever systématiquement tous les organismes présents sur un site, mais plutôt de détecter ceux non encore observés précédemment. Nos travaux ne peuvent donc en aucun cas présager du degré de rareté de tel ou tel animal.

En croisant données anciennes et nouvelles, ce premier catalogue peut donner une impulsion pour tenter d'observer les évolutions négatives ou positives de ces populations notamment lorsqu'elles sont en corrélation avec des plantes hôtes elles-mêmes fragilisées au cours du temps.

A titre personnel, il s'agit de la compilation de 5 ans d'observations et de lectures. Ce travail n'est donc aucunement exhaustif et appelle à une actualisation régulière.

I. Phylum des NEMATODA / Ordre des Rhabditida :

1. *Ditylenchus dipsaci* (Kühn, 1857) [313869] :

Ce ver nématode provoque des déformations souterraines ou aériennes sur des dizaines de de plantes appartenant à des familles variées.

Martel signale cette espèce sur des épervières chez qui le parasite provoque un gonflement et une fermeture des capitules.

📖 Martel (1893-1894).

II. Classe des ARACHNIDA / Ordre des Trombidiformes :

2. *Acalitus brevitarsus* (Fockeu, 1890) [221353] :

Les acariens provoquent des déformations en forme de petites coupoles à la face supérieure des feuilles d'aulnes. Elles sont concaves et velues sur la face inférieure.

📖 Noury (1950).

♀ Cécidies observées par CP sur *Alnus glutinosa* à Grainville-la-Teinturière (2018), Anneville-Ambourville (2018) et Clasville (2018).



3. *Acalitus calycophthirus* (Nalepa, 1891) [221354] :

Les acariens provoquent une hypertrophie des bourgeons de bouleaux. Le rameau associé est plus épais également.

📖 Martel (1893-1894), Kieffer (1899).

♀ Cécidies observées par CP sur *Betula pubescens* à Sainte-Marguerite-sur-Mer (2020).

4. *Acalitus essigi* (Hassan, 1928) [1018562] :

Les mûres infectées se reconnaissent à leur coloration hétérogène avec des drupéoles tantôt noires (normales), tantôt rouge vif ou vertes (parasitées). Ces dernières sont souvent gonflées.

♀ Cécidies observées par CP sur *Rubus fruticosus* à Cany-Barville (2023).

5. *Acalitus longisetosus* (Nalepa, 1892) [221355] :

Les acariens provoquent une déformation des limbes de bouleaux avec des érineums rouges à poils très courts.

📖 Kieffer (1899).

6. *Acalitus rudis* (Canestrini, 1890) [221358] :

Les acariens provoquent des érineums blancs à poils très courts sur la face inférieure des limbes de bouleaux.

📖 Kieffer (1899).

7. *Acalitus stenaspis* (Nalepa, 1891) [221359] :

Boursoufflure sur les bords des limbes de hêtre. Des poils anormalement longs, des

nervations déformées et des décolorations du limbe peuvent aussi être observés.

📖 Martel (1893-1894), Kieffer (1899), Noury (1950).

♀ Cécidies observées par CP sur *Fagus sylvatica* à Gonnetot (2018) et Grainville-la-Teinturière (2018).

8. *Aceria aceriscampestris* (Nalepa, 1922) [848633] :

Les acariens provoquent de très nombreuses pustules de couleur rouge sur les feuilles d'érable champêtre. L'infestation peut être impressionnante par sa multiplicité sur l'ensemble du feuillage.

♀ Cécidies observées par CP sur *Acer campestre* à Grainville-la-Teinturière (2018) et Hénouville (2019). Observations rapportées par l'intermédiaire du site internet collaboratif Inaturalist.org à Hautot-sur-Mer (2022).

9. *Aceria anthonoma* (Nalepa, 1892) [221256] :

Les acariens provoquent une altération des inflorescences de thésium. La plante hôte est rare en Seine-Maritime et semble cantonnée à l'Est de la côte dieppoise et aux environs d'Elbeuf. Cette galle est donc à rechercher dans ces zones géographiques.

📖 Martel (1893-1894).

10. *Aceria campestricola* (Frauenfeld, 1865) [221261] :

Très nombreuses pustules, peu ou pas pédonculées, de couleur vert clair sur les feuilles d'orme. L'infestation peut être étendue à l'ensemble du feuillage.

♀ Cécidies observées par CP sur *Ulmus minor* à Grainville-la-Teinturière (2018), Canouville (2018), Hénouville (2019) et Paluel (2019).

11. *Aceria centaureae* (Nalepa, 1891) [221266] :

Taches et déformations jaunâtres ou verdâtres sur les feuilles de centaurées.

♀ Cécidies observées par CP sur *Centaurea scabiosa* à Paluel (2019).



12. *Aceria dispar* (Nalepa, 1891) [221275] :

L'infestation montre chez les peupliers tremble et blanc un feuillage aux limbes crispés et recroquevillés. Les cécidies ont souvent un aspect rougeâtre et les feuilles atteintes peuvent ensemble former une masse plus ou moins sphérique.

📖 Martel (1893-1894).

13. *Aceria echii* (Canestrini, 1891) [221277] :

Les inflorescences de vipérine sont déformées et évoquent des brocolis très velus.

♀ Observation rapportée par l'intermédiaire du site internet collaboratif Inaturalist.org sur *Echium vulgare* à Petit-Couronne (2023).

14. *Aceria erinea* (Nalepa, 1891) [221279] :

Les galles formées par cette espèce sont très communes sur les feuilles de noyer. Elles ont l'aspect de cloques sur la partie supérieure. Quant à la partie inférieure, on y observe un dense érineum de couleur grisâtre à brun clair.

♀ Cécidies observées par CP sur *Juglans regia* à Yerville (2018), Gonnetot (2018) et Cany-Barville (2018). Observations rapportées par l'intermédiaire du site internet collaboratif Inaturalist.org à Martainville (2022).

15. *Aceria euaspis* (Nalepa, 1892) [221281] :

Infestées, les feuilles de lotier sont crispées et présentent une pilosité blanche anormale. Les crispations peuvent prendre un aspect rougeâtre.

📖 Martel (1893-1894).

16. *Aceria exigua* (Liro, 1940) [908943] :

Les acariens provoquent une atrophie des pousses de callunes. Celle-ci est complétée d'une pilosité anormale des feuilles.

📖 Kieffer (1899).

17. *Aceria fraxini* (Garman, 1883) [221281] :

Les folioles de frêne porteuses de ce parasite présentent de nombreuses pustules vert clair sur la face supérieure.

📖 Martel (1893-1894).

18. *Aceria fraxinivora* (Nalepa, 1909) [221285] :

L'organisme cécidogène provoque une galle successivement verte puis noirâtre en forme de chou-fleur sur les rameaux florifères des frênes. D'autres parties du végétal peuvent être atteintes comme les tiges ou les folioles.

Les cécidies s'observent facilement en hiver depuis le sol.

♀ Cécidies observées par CP sur *Fraxinus excelsior* à Cany-Barville (2019).

19. *Aceria labiatiflorae* (Thomas, 1872) [221299] :

Les acariens déforment l'inflorescence et les bractées des marjolaines. Les feuilles supérieures peuvent aussi être atteintes avec des crispations et une pilosité anormale.

♀ Cécidies observées par CP sur *Origanum vulgare* à Hénouville (2019).

20. *Aceria laticincta* (Nalepa, 1892) [221300] :

Toute la partie supérieure des lysimaques semble comme brûlée du fait d'un changement de couleur orange à brun et un recroquevillement des organes atteints. L'érineum couvre les fleurs et la base des feuilles avec des poils denses.

📖 Martel (1893-1894).

♀ Cécidies observées par CP sur *Lysimachia vulgaris* au Trait (2021).



**21. *Aceria longiseta* (Nalepa, 1891)
[221303] :**

Infestés, les bords de feuilles d'épervières ou de crépides sont allongés et enroulés vers le haut. Les capitules peuvent être aussi déformés.

📖 Martel (1893-1894).

**22. *Aceria lycopersici* (Wolfenstein, 1879)
[221304] :**

Les acariens déforment les parties terminales des rameaux envahis des douces-amères. On observe une pilosité blanchâtre développée.

♀ Cécidies observées par CP sur *Solanum dulcamara* à Bellencombres (2023).

**23. *Aceria macrochela* (Nalepa, 1891)
[221305] :**

Des excroissances rondes vert clair à rouge et légèrement velues poussent sur les nervures des feuilles d'érable champêtre, face supérieure, parfois en assez grand nombre. Ces excroissances sont plus grosses que celles d'*A. aceriscampestris*.

♀ Cécidies observées par CP sur *Acer campestre* à Grainville-la-Teinturière (2023).



**24. *Aceria macrocheluserinea* (Trotter, 1902)
[221306] :**

Les acariens provoquent sous la face inférieure des limbes d'érable un érineum blanchâtre. Les feuilles peuvent se recroqueviller partiellement.

♀ Cécidies observées par CP sur *Acer campestre* à Cany-Barville (2018) et Gonnetot (2018).

25. *Aceria macrorhyncha* (Nalepa, 1889) [221307] :

Les galles sont des excroissances rouges, parfois jaunes, sous forme de petits clous sur les limbes d'érable sycomore. D'autres espèces d'érable peuvent être atteintes mais de manière exceptionnelle.

📖 Noury (1950).

♀ Cécidies observées par CP sur *Acer pseudoplatanus* à Yerville (2018). Observations rapportées par l'intermédiaire du site internet collaboratif Inaturalist.org à Mont-Saint-Aignan (2021), Montville (2021), Déville-lès-Rouen (2022), Saint-Jean-de-Folleville (2020 et 2022), Ingouville-sur-Mer (2022), Beuzevillette (2022), Bolbec (2023) et Amfreville-la-Mi-Voie (2023).



26. *Aceria nalepai* (Fockeu, 1890) [221313] :

Galle similaire à celle de *Eriophyes inangulis*. Il semble admis que si *A. nalepai* n'est pas synonyme de *E. inangulis*, elle demeure inquiline de ses galles. Cette idée ne fait cependant pas consensus.

📖 Martel (1893-1894).

27. *Aceria nervisequa* (Canestrini, 1891) [221314] :

Les érineums visibles sous les feuilles de hêtre, forme des taches rouges entre les nervures des limbes.

📖 Kieffer (1899).

28. *Aceria ononidis* (Canestrini, 1890) [221316] :

Les parties supérieures des ononis sont épaissies et densément poilues. Les feuilles sont raccourcies.

📖 Kieffer (1899).

29. *Aceria peucedani* (Canestrini, 1892) [221322] :

Les acariens prospèrent sur les feuilles et parfois les inflorescences de nombreuses ombellifères. Les feuilles sont épaissies et enroulées, les fleurs déformées. Les cécidies peuvent prendre une teinte rougeâtre.

📖 Houard (1913).

♀ Cécidies observées par CP sur *Pimpinella saxifraga* à Paluel (2019).

30. *Aceria pseudoplatani* (Corti, 1905) [221327] :

Les érineums se forment sous les feuilles d'érable sycomore. Elles ont d'abord une couleur blanchâtre qui par la suite devient

brune. Sur la partie supérieure de la feuille le limbe est comme cloqué.

♀ Cécidies observées par CP sur *Acer pseudoplatani* à Cany-Barville (2018) et à Vinnemerville (2019).



31. *Aceria sanguisorbae* (Canestrini, 1892) [221336] :

Les acariens développent sur les feuilles et les inflorescences des pimprenelles des masses compactes densément poilues leur donnant un aspect blanchâtre.

📖 Martel (1893-1894), Kieffer (1899).

♀ Cécidies observées par CP sur *Sanguisorba minor* à Hénouville (2019).

32. *Aceria tenella* (Nalepa, 1892) [895698] :

Les acariens s'installent à la base des nervures des feuilles de charme. Des marques ovales sont visibles sur la partie supérieure, mais c'est surtout sur la face inférieure que chaque aisselle de nervure arbore des cavités pileuses de couleur brunâtre.

📖 Martel (1893-1894).

♀ Cécidies observées par CP sur *Carpinus betulus* à Clasville (2018) et à Gonnetot (2018).

33. *Aceria tenuis* (Nalepa, 1891) [221343] :

Les acariens se développent sur les feuilles et les inflorescences de nombreuses graminées provoquant enroulements, déformations ou raccourcissements de ces organes.

📖 Kieffer (1899).

34. *Aceria thomasi* (Nalepa, 1889) [221344] :

Les inflorescences de thym sont atrophiées par les parasites et une forte densité de poils leur donne un aspect blanchâtre.

📖 Martel (1893-1894), Kieffer (1899).

♀ Cécidies observées par CP sur *Thymus* sp. à Hénouville (2019).



35. *Aceria tristriata* (Nalepa, 1890) [221347] :

On peut observer, par le biais de cet animal, sur les feuilles de noyer de petites pustules proches des nervures, d'abord de couleur puis virant au rouge. Les feuilles peuvent être très impactées et l'infestation peut alors s'étendre jusqu'aux fruits.

📖 Martel (1893-1894).

36. *Aceria tuberculata* (Nalepa, 1891) [221348] :

L'extrémité du feuillage des tanaïsiés est atrophiée ou enroulée partiellement par les acariens.

♀ Cécidies observées par CP sur *Tanacetum vulgare* à La Cerlangue (2021).



37. *Aceria ulmi* (Garman, 1883) [221350] :

Les limbes d'orme sont légèrement bosselés et ponctués de taches décolorées à la face supérieure et brunâtres à la face inférieure.

📖 Noury (1950).

38. *Aceria varia* (Nalepa, 1892) [221351] :

Les limbes de tremble présentent des cécidies jaunâtres sur leur face supérieure leur donnant un aspect verruqueux. Au niveau de la face inférieure les érineums garnissant les déformations sont de couleur rouge.

📖 Martel (1893-1894).

39. *Aculops macrotrichus* (Nalepa, 1889) [221229] :

Les nervures des feuilles de charme sont surépaissies et évoquent des zigzags. Elles

déforment la feuille entière lui donnant un aspect crépu ou crêté.

♀ Cécidies observées par CP sur *Carpinus betulus* à Cany-Barville (2018).

40. *Aculus convolvuli* (Nalepa, 1891) [221204] :

Les limbes de liseron des champs sont crispés, boursoufflés et grossièrement poilus. La galle a un aspect rougeâtre.

📖 Martel (1893-1894).

41. *Aculus hippocastani* (Fockeu, 1890) [221209] :

De petits érineums se forment à l'aisselle des nervures des feuilles de marronnier.

♀ Cécidies observées par CP sur *Aesculus hippocastanum* à Cany-Barville (2018).

42. *Aculus phyllocoptoides* (Nalepa, 1891) [221216] :

Ces acariens provoqueraient des hypertrophies des inflorescences de saule pourpre.

📖 Martel (1893-1894).

43. *Aculus tetanothrix* (Nalepa, 1889) [221221] :

Les feuilles de saule sont envahies (parfois de manière très marquée) de petites galles en bouton feutré de couleur rouge.

♀ Observation rapportée par l'intermédiaire du site internet collaboratif Inaturalist.org sur *Salix alba* à Heurteauville (2022).

44. *Aculus teucrii* (Nalepa, 1892) [221222] :

Les feuilles de germandrée sont boursoufflées avec une pilosité anormale. Les galles ont une couleur vert pâle à jaunâtre.

📖 Noury (1950).

♀ Cécidies observées par CP sur *Teucrium chamaedrys* à Hénouville (2019).



45. *Anthocoptes platynotus* Nalepa, 1892 [221198] :

Les feuilles de cornouiller sont partiellement enroulées et déformées. Les feuilles infectées brunissent prématurément.

📖 Martel (1893-1894).

46. *Cecidophyes galii* (Karpelles, 1884) [221392] :

Les feuilles de gaillet sont enroulées vers le haut le long de la nervure médiane avec la face supérieure couverte de poils entre lesquels vivent les acariens.

📖 Kieffer (1899).

**47. *Cecidophyes gymnaspi* (Nalepa, 1892)
[221393] :**

Les feuilles des érables présentent un érineum le long des veines et à l'aisselle de celles-ci.

📖 Martel (1893-1894).

**48. *Cecidophyes nudus* Nalepa, 1891
[848677] :**

Les feuilles de benoîte sont boursoufflées avec une pilosité anormale. Les galles ont une couleur vert pâle à jaunâtre.

♀ Cécidies observées par CP sur *Geum urbanum* à Yerville (2019).

**49. *Cecidophyopsis psilaspis* (Nalepa, 1893)
[221389] :**

Les tiges d'if présentent, généralement dans leur axe, un ou plusieurs bourgeons hypertrophiés.

📖 Noury (1950).

♀ Cécidies observées par CP sur *Taxus baccata* à Reuville (2018).

**50. *Cecidophyopsis ribis* (Westwood, 1869)
[221390] :**

Les bourgeons de cassissier sont hypertrophiés en divers endroits de la plante.

♀ Cécidies observées par CP sur *Ribes nigrum* à Gonnetot (2019).

**51. *Colomerus vitis* (Pagenstecher, 1857)
[221395] :**

Les feuilles de vigne présentent des sortes de cloques sur la partie supérieure. La partie inférieure montre un dense érineum.

♀ Cécidies observées par CP sur *Vitis sp.* à Mont-Saint-Aignan (2018).

**52. *Epitrimerus gibbosus* (Nalepa, 1892)
[221247] :**

Les feuilles de ronce arborent sur l'une ou l'autre face un érineum blanchâtre évoquant des taches de décoloration.

📖 Kieffer (1899).

**53. *Epitrimerus trilobus* (Nalepa, 1891)
[2330] :**

Les folioles de sureau semblent crispées ou atrophiées.

📖 Noury (1950).

**54. *Eriophyes arianus* (Canestrini, 1890)
[271100] :**

Les feuilles de sorbier ou d'alisier présentent au niveau de la face inférieure de denses zones de pustules qui provoquent des marques sur la face supérieure.

📖 Martel (1893-1894).

**55. *Eriophyes crataegi* (Canestrini,
1890) [848681] :**

Les feuilles d'aubépines développent de petites boursoufflures et des taches colorées.

♀ Cécidies observées par CP sur *Crataegus monogyna* à Yerville (2018).

56. *Eriophyes exilis* (Nalepa, 1892) [221370] :

Les feuilles de tilleul développent à l'aisselle des veines ou sur les veines des masses plus ou moins velues blanches ou brunes.

♀ Cécidies observées par CP sur *Tilia sp.* à Gainneville (2018), Grainville-la-Teinturière (2018) et Cany-Barville (2019).

57. *Eriophyes inangulis* Nalepa, 1919
[221372] :

Les feuilles d'aulne présentent sur leur face inférieure de multiples développements pileux le long de la nervure centrale formant de petites bosses sur la face supérieure.

♀ Cécidies observées par CP sur *Alnus glutinosa* à Grainville-la-Teinturière (2018). Observations rapportées par l'intermédiaire du site internet collaboratif Inaturalist.org à Saint-Nicolas-de-la-Taille (2020).

58. *Eriophyes laevis* (Nalepa, 1889)
[221373] :

Les acariens provoquent la formation de nombreuses pustules sur les feuilles d'aulne.

♀ Cécidies observées par CP sur *Alnus glutinosa* à Ponts-et-Marais (2018) et Grainville-la-Teinturière (2018).

59. *Eriophyes leionotus* (Nalepa, 1891)
[221374] :

Les feuilles de bouleau présentent sur leur face inférieure de multiples développements pileux roux le long de la nervure centrale formant de petites bosses sur la face supérieure.

📖 Kieffer (1899).

♀ Cécidies observées par CP sur *Betula pubescens* à Hautot-sur-Seine (2020) et Sainte-Marguerite-sur-Mer (2020).

60. *Eriophyes leiosoma* (Nalepa, 1892)
[221375] :

Les feuilles de tilleul développent des érimeums sous forme de taches pâles ou violacées brunissant par la suite. Certains auteurs considèrent cette espèce comme synonyme de *E. exilis*.

📖 Martel (1893-1894).

♀ Cécidies observées par CP sur *Tilia cordata* à Tocqueville-les-Murs (2018).

61. *Eriophyes pteridis* (Molliard, 1898)
[221379] :

Les feuilles de fougère aigle sont comme ratatinées de manière désordonnée.

📖 Houard (1913).

♀ Cécidies observées par CP sur *Pteridium aquilinum* à Grainville-la-Teinturière (2018).



62. *Eriophyes pyri* (Pagenstecher, 1857)
[221380] :

Les feuilles de poiriers sont grêlées de petites pustules d'abord pâles puis qui noircissent ou rougissent.

📖 Kieffer (1899).

♀ Cécidies observées par CP sur *Pyrus communis* à Cany-Barville (2023). Observations rapportées par l'intermédiaire du site internet collaboratif Inaturalist.org à Lillebonne (2015).



63. *Eriophyes similis* (Nalepa, 1890) [2320] :

Les acariens provoquent le développement de petites pustules sur les bords des feuilles de prunier ou de prunellier.

♀ Cécidies observées par CP sur *Prunus spinosa* à Paluel (2018) et Grainville-la-Teinturière (2018) puis sur *Prunus domestica* à Gonnetot (2018).

64. *Eriophyes tiliae* (Pagenstecher, 1857) [221383] :

Les feuilles de tilleul développent des sortes de clous de couleur variant du vert au rouge selon les espèces hôtes ou leurs hybrides.

♀ Cécidies observées par CP sur *Tilia sp.* à Grainville-la-Teinturière (2018), Gainneville (2018) et Cany-Barville (2019). Observations rapportées par l'intermédiaire du site internet collaboratif Inaturalist.org à Roncherolles-sur-le-Vivier (2020), Le-Petit-Quevilly (2021), Saint-André-sur-Cailly (2022) et Amfreville-la-Mi-Voie (2023).

65. *Phyllocoptes goniothorax* (Nalepa, 1889) [221236] :

Les feuilles d'aubépines s'enroulent de manière très serrée sur leurs bords.

📖 Kieffer (1899).

♀ Cécidies observées par CP sur *Crataegus monogyna* à Grainville-la-Teinturière (2018) et Gonnetot (2018)

66. *Phyllocoptes malinus* (Nalepa, 1892) [221239] :

Erineum blanc ou rouge puis brun sur les feuilles de pommier.

📖 Martel (1893-1894).

67. *Stenacis euonymi* (Frauenfeld, 1865) [221360] :

Les bords des feuilles de fusain s'enroulent vers le haut. La cécidie peut présenter des variations de couleur.

♀ Cécidies observées par CP sur *Euonymus europaeus* à Grainville-la-Teinturière (2018) et Anneville-Ambourville (2018).

68. *Stenacis triradiata* (Nalepa, 1892) [221361] :

Les saules développent des développements anarchiques du type balai de sorcière plus ou moins importants sur les fleurs, les bourgeons ou les rameaux. Il n'est pas certain que l'acarien soit à l'origine de la galle (il s'agirait d'une galle bactérienne).

📖 Martel (1893-1894).

♀ Cécidies observées par CP sur *Salix alba* au Trait (2021).

69. *Phytoptus avellanae* Nalepa, 1889 [221398] :

Les bourgeons de noisetier sont hypertrophiés.

📖 Noury (1950).

♀ Cécidies observées par CP sur *Corylus avellana* à Grainville-la-Teinturière (2018), Gonnetot (2018) et Beuzeville-la-Guérand (2018).



III. Classe des INSECTA / Ordre des Hemiptera :

70. *Adelges gr. laricis* :

Ce groupe de pucerons regroupe *Adelges laricis* et *A. tardus*. Ils provoquent tous les deux des galles en forme d'ananas à l'extrémité des branches d'épicéa. Il est très difficile de distinguer les deux espèces sans une analyse en laboratoire.

📖 Martel (1893-1894).

📍 Cécidies observées par CP sur *Picea abies* à Fontaine-le-Dun (2020).

71. *Sacchiphantes abietis* (Linnaeus, 1758) [909147] :

Les aisselles des rameaux terminaux d'épicéas présentent, sur les lieux de ponte des pucerons, des galles en ananas avec des marges rouges.

📍 Observations rapportées par l'intermédiaire du site internet collaboratif Inaturalist.org à Mont-Saint-Aignan (2020).

72. *Phylloxera coccinea* (von Heyden, 1837) [215789] :

De minuscules pucerons jaune-orangé se développent sous les feuilles de chêne et provoquent des nécroses donnant à la feuille un aspect ponctué.

📖 Martel (1893-1894), Noury (1921).

73. *Aphis galiiscabri* Schrank, 1801 [215207] :

Situés sur les tiges des rubiacées, des pucerons de couleur vert-noir et poudrés de cire, provoquent un raccourcissement des entre-nœuds de la plante et l'enroulement des feuilles.

📖 Martel (1893-1894).

74. *Aphis grossulariae* Kaltenbach, 1843 [52031] :

Un amasement de feuilles en bout de tige de groseillers (à maquereaux, rarement les autres espèces) abrite des pucerons vert foncé.

📖 Martel (1893-1894).

75. *Aphis origani* Passerini, 1860 [215231] :

Les feuilles de marjolaine se regroupent les unes sur les autres du fait de pucerons ponctués de vert ou de jaune.

📖 Noury (1950).

76. *Aphis pomi* De Geer, 1773 [52032] :

Les pucerons, majoritairement verts, provoquent l'enroulement des feuilles de pommier et autres malacées sans en changer la couleur.

📖 Martel (1893-1894).

77. *Aphis rumicis* Linnaeus, 1758 [215244] :

Les pucerons de couleur noir provoquent l'enroulement et la crispation des feuilles de rumex.

📍 Cécidies observées par CP sur *Rumex crispus* et *R. obtusifolium* à Clasville (2018), Cany-Barville (2018) et Gonnetot (2018).

78. *Aphis ulmariae* Schrank, 1801 [215263] :

Les inflorescences de reine-des-prés sont raccourcies et leurs feuilles froissées. Les pucerons sont verts ponctués de vert foncé.

📖 Noury (1950).

**79. *Aphis urticata* J.F. Gmelin, 1790
[215265] :**

Les pucerons, majoritairement verts, provoquent la crispation des feuilles d'ortie. Pour éviter les confusions, on observe parmi les générations estivales des individus nains jaune pâle sous les feuilles.

📖 Martel (1893-1894).

80. *Aphis viburni* Scopoli, 1763 [215269] :

Des pucerons très sombres génèrent une forte crispation des feuilles de viorne.

📖 Martel (1893-1894).

♀ Cécidies observées par CP sur *Viburnum opulus* à Gonnetot (2018).

**81. *Brachycolus stellariae* (Hardy, 1850)
[215315] :**

Les feuilles de stellaire s'enroulent et bouclent sous l'action de petits pucerons.

📖 Martel (1893-1894), Kieffer (1899).

**82. *Brevicoryne brassicae* (Linnaeus, 1758)
[52043] :**

Les feuilles de chou se contractent du fait de la présence de grandes colonies de pucerons fortement poudrés de cire.

📖 Noury (1952).

♀ Cécidies observées par CP sur *Brassica oleracea* à Paluel (2018). Observations rapportées par l'intermédiaire du site internet collaboratif Inaturalist.org à Smermesnil (2020), Le-Grand-Quevilly (2021) et Amfreville-la-Mi-Voie (2023).

**83. *Cryptomyzus ribis* (Linnaeus, 1758)
[215404] :**

Les feuilles des groseillier ou de cassissier présentent des boursouflures verdâtres à rougeâtres sur leur face supérieure au-dessus des concentrations de pucerons jaunâtres.

♀ Cécidies observées par CP sur *Ribes rubrum* à Saint-Laurent-en-Caux (2018). Observations rapportées par l'intermédiaire du site internet collaboratif Inaturalist.org à Bolbec (2023).

84. *Dysaphis gr. crataegi* :

Les feuilles d'aubépine se crispent au printemps et arborent des couleurs rouges. Plusieurs espèces de pucerons de ce genre sont susceptibles de produire ces galles.

♀ Cécidies observées par CP sur *Crataegus monogyna* à Gonnetot (2019).

**85. *Dysaphis pyri* (Boyer de Fonscolombe,
1841) [215440] :**

Les feuilles de poirier s'enroulent et jaunissent sous l'action de pucerons sombres avec des fluides corporels rougeâtres.

📖 Martel (1893-1894).

**86. *Eriosoma lanigerum* (Hausmann, 1802)
[215447] :**

Le puceron lanigère du pommier, sans doute originaire d'Amérique du Nord, est un ravageur des vergers. Les colonies, reconnaissables à leur cire blanche leur donnant un aspect laineux au sein des anfractuosités des branches de pommiers, provoquent de multiples déformations semblables à des chancres.

📖 Martel (1893-1894).

♀ Cécidies observées par CP sur *Malus sp.* à Fontaine-le-Dun (2019).

87. *Eriosoma lanuginosum* (Hartig, 1839) [215448] :

Une galle massive, en forme de croustillon, pousse sur les feuilles d'orme et abrite les pucerons. Les galles sèchent sur la branche même après le départ des insectes.

♀ Cécidies observées par CP sur *Ulmus minor* au Bourg-Dun (2019) et Gonnetot (2023).



88. *Eriosoma ulmi* (Linnaeus, 1758) [215450] :

La galle se développe sur la moitié d'une feuille d'orme qui s'enroule vers l'intérieur et paraît boursoufflée.

♀ Cécidies observées par CP sur *Ulmus laevis* à Grainville-la-Teinturière (2018) et *U. minor* à Ermenouville (2019).

89. *Hamamelistes betulinus* (Horvath, 1896) [894692] :

Les feuilles de bouleau atteintes montrent plusieurs renflements vers le haut et décolorés situés entre les nervures.

♀ Cécidies observées par CP sur *Betula pubescens* à Grainville-la-Teinturière (2018).

90. *Hyalopterus pruni* (Geoffroy, 1762) [52026] :

Les feuilles de prunier sont fortement crispées par des attaques de pucerons verts.

📖 Noury (1952).

91. *Megoura viciae* Buckton, 1876 [52039] :

Raccourcissement des pousses de vesces par les colonies de nombreux pucerons verts aux pattes et antennes noires.

♀ Cécidies observées par CP sur *Vicia sepium* à Gonnetot (2019).

92. *Myzus cerasi* (Fabricius, 1775) [52045] :

De petits pucerons noirs provoquent un dense enroulement des feuilles à l'extrémité des branches de merisier, cerisier ou prunier.

♀ Cécidies observées par CP sur *Prunus avium* à Gonnetot (2019).

93. *Myzus ligustri* (Mosley, 1841) [215598] :

De petits pucerons jaunâtres provoquent l'enroulement des jeunes feuilles de troène.

♀ Cécidies observées par CP sur *Ligustrum ovalifolium* à Pont-et-Marais (2018).

94. *Pemphigus bursarius* (Linnaeus, 1758) [215624] :

Galle très caractéristique en forme de bourse au niveau du pétiole de feuilles de peupliers noirs ornementaux.

♀ Cécidies observées par CP sur *Populus nigra* à Paluel (2018) et le Havre (2023).

Observations rapportées par l'intermédiaire du site internet collaboratif Inaturalist.org à Foucart (2019).



95. *Pemphigus populinigrae* (Schrank, 1801) [215629] :

La galle gonfle sur la nervure centrale de la face supérieure d'une feuille de peuplier noir jusqu'à la taille d'une noisette.

📖 Martel (1893-1894).

96. *Pemphigus spyrothecae* Passerini, 1860 [215631] :

Galle très caractéristique en forme de spirale d'environ 4 tours au niveau du pétiole de feuilles de peupliers noirs ornementaux.

♀ Cécidies observées par CP sur *Populus nigra* à Gainneville (2018), Massy (2023) et le Havre (2023).



97. *Rhopalomyzus lonicerae* (Kaltenbach, 1843) [854105] :

Les feuilles de chèvrefeuille sont boursoufflées et décolorées par la présence de pucerons jaunâtres.

📖 Martel (1893-1894).

98. *Tetraneura ulmi* (Linnaeus, 1758) [215717] :

Une galle en forme de massue s'élève sur la face supérieure des feuilles d'orme et abrite les pucerons.

♀ Cécidies observées par CP sur *Ulmus minor* à Gonnetot (2018), Grainville-la-Teinturière (2018), Paluel (2018) et Le-Bourg-Dun (2019).

99. *Craspedolepta subpunctata* (Foerster, 1848) [220384] :

Les larves de ce psylle parasitent les racines d'épilobe en épi. La galle apparaît comme un enchevêtrement de racines hypertrophiées et blanchies.

📖 Noury (1936).

100. *Livia junci* (Schrank, 1789) [220393] :

L'hémiptère provoque une hypertrophie des fleurs des petites espèces de jonc.

♀ Cécidies observées par CP sur *Juncus articulatus* à Grainville-la-Teinturière (2018).

101. *Psylla buxi* (Linnaeus, 1758) [220407] :

Le psylle provoque la formation d'une bosse sous les feuilles de buis.

📖 Noury (1950).

♀ Cécidies observées par CP sur *Buxus sempervirens* à Yerville (2018), Pavilly (2018),

Cany-Barville (2018), Saint-Laurent-en-Caux (2018) et Ancourteville-sur-Héricourt (2019).

102. *Psyllopsis fraxini* (Linnaeus, 1758) [52007] :

La larve de l'insecte provoque un enroulement et une crispation des folioles de frêne. La galle formée est veinée de pourpre.

📖 Noury (1950).

♀ Cécidies observées par CP sur *Fraxinus excelsior* au Hanouard (2018), Gonnetot (2018) et Saint-Riquier-es-Plains (2018). Observations rapportées par l'intermédiaire du site internet collaboratif Inaturalist.org à Déville-lès-Rouen (2022).



103. *Lauritrioza alacris* (Flor, 1861) [650917] :

Le développement des larves provoque un enroulement marginal des feuilles de laurier qui s'épaissit et se décolore.

♀ Cécidies observées par CP sur *Laurus nobilis* à Paluel (2018).

104. *Trioza centranthi* (Vallot, 1829) [220446] :

La cécidie est un enroulement marginal des feuilles de centranthe ou de mâche qui s'épaissit et souvent se colore de rouge.

📖 Martel (1893-1894).

♀ Cécidies observées par CP sur *Centranthus ruber* à Veules-les-Roses (2018).

105. *Copium clavicorne* (Linnaeus, 1758) [237414] :

Les larves de cette punaise se développent dans les fleurs de germandrée qui restent en bouton et deviennent boursoufflées sans épaississement à leur base.

📖 Martel (1893-1894).

106. *Copium teucree* (Host, 1788) [237415] :

Les larves se développent dans les fleurs de germandrée (moins d'espèces hôtes que *C. clavicorne*) qui restent en bouton, gonflent et épaississent à leur base.

📖 Martel (1893-1894).

IV. Classe des INSECTA / Ordre des Lepidoptera :

107. *Adaina microdactyla* (Hübner, 1813) [247777] :

La chenille de ce petit papillon se développe dans les tiges d'eupatoire chanvrine à la base des feuilles. Un épaississement est alors observable (le trou d'envol peut aider à confirmer l'observation).

📖 Noury (1955).

♀ Cécidies observées par CP sur *Eupatorium cannabinum* à Paluel (2018).

108. *Cydia servillana* (Duponchel, 1836) [247463] :

La chenille de ce papillon se développe dans les jeunes tiges de saule avec un épaississement des rameaux.

📖 Noury (1925).

109. *Gypsonoma aceriana* (Duponchel, 1843) [247287] :

La chenille de ce papillon se développe dans les jeunes tiges de tremble où un épaississement est alors bien visible.

📖 Houard (1913), Noury (1936).

V. Classe des INSECTA / Ordre des Diptera :

110. *Hexomyza sarothamni* (Hendel, 1923) [224441] :

Un gonflement unilatéral tout en longueur se forme sur les tiges de genêt. La membrane extérieure a une couleur verte ou brune.

📖 Mouillé (1980).

111. *Hexomyza schineri* (Giraud, 1861) [25352] :

Un gonflement unilatéral et lisse est observable sur les jeunes tiges de tremble ou d'autres peupliers, du fait de la présence d'une larve.

📖 Martel (1893-1894), Mouillé (1980).

112. *Chirosia betuleti* (Ringdahl, 1935) [224520] :

Les feuilles à l'extrémité des fougères sont contorsionnées sur elles-mêmes et abritent une larve.

📖 Noury (1929).

♀ Cécidies observées par CP sur *Athyrium filix-femina* à Sainte-Marguerite-sur-Mer (2020).



113. *Chirosia grossicauda* Strobl, 1899 [26862] :

L'extrémité des pinnules des feuilles de fougère aigle sont repliées ou enroulées vers le bas.

📖 Noury (1929).

♀ Cécidies observées par CP sur *Pteridium aquilinum* à Grainville-la-Teinturière (2018) et Cany-Barville (2018).

114. *Ametrodiplosis duclosii* (Tavares, 1930) [250214] :

Les bourgeons de stellaire se transforment en galle de 5 mm de longueur.

📖 Mouillé (1980).

**115. *Anabremia bellevoeyi* (Kieffer, 1896)
[250211] :**

Des larves jaunes ou rouges provoquent un enroulement et un gonflement des folioles de gesse.

📖 Kieffer (1899).

**116. *Anisostephus betulinus* (Kieffer, 1889)
[250210] :**

Les cécidies sont de petites pustules cerclées de jaune ou de rouge sur les feuilles de bouleau.

📖 Martel (1893-1894), Kieffer (1899), Mouillé (1980).

**117. *Arnoldiola quercus* (Binnie, 1877)
[250203] :**

Espèce avec des larves grégaires blanchâtres déformant les bourgeons terminaux des chênes.

📖 Mouillé (1980).

**118. *Asphondylia ervi* Rübсаamen, 1896
[977083] :**

La larve, généralement seule, jaunâtre et non sauteuse, se développe dans un bourgeon floral ou une gousse de vesce mal formée et gonflée. Du mycélium tapisse l'intérieur de la galle.

📖 Noury (1955), Mouillé (1980).

**119. *Asphondylia hornigi* Wachtl, 1880
[21444] :**

La larve provoque un gonflement des fruits de majorlaine.

📖 Mouillé (1980).

**120. *Asphondylia melanopus* Kieffer, 1890
[250188] :**

Une larve jaune entraîne un gonflement local mais important des gousses de lotier.

📖 Mouillé (1980).

**121. *Asphondylia miki* Wachtl, 1880
[250190] :**

Les gousses de luzerne sont raccourcies et gonflées par une larve jaune se nourrissant de la paroi interne tapissée de mycélium.

📖 Mouillé (1980).

**122. *Asphondylia ononidis* F. Löw, 1873
[250191] :**

Les pétioles des feuilles de bugrane puis les gousses sont gonflés par des larves jaunes.

📖 Mouillé (1980).

**123. *Asphondylia pilosa* Kieffer, 1898
[250192] :**

Le bourgeon axillaire du genêt à balai prend une forme ovoïde avec une pointe effilée remarquablement longue.

📖 Mouillé (1980).

**124. *Asphondylia sarothamni* (Loew, 1850)
[21444] :**

Cet animal produit deux générations par an. La printanière forme une galle en poire sur les bourgeons de genêt. L'estivale déforme les gousses de genêt. Celles-ci présentent une bosse. Toutes ces galles sont tapissées à l'intérieur de mycélium qui sert de nourriture à la larve solitaire.

📖 Martel (1893-1894), Kieffer (1899), Noury (1955), Mouillé (1980).

♀ Cécidies observées par CP sur *Cytisus scoparius* à Grainville-la-Teinturière (2023).



**125. *Asphondylia ulicis* Trail, 1873
[854059] :**

La larve orangée produit une hypertrophie des bourgeons axillaires ou floraux des ajoncs. Une génération estivale déforme les gousses d'ajoncs de la même façon qu'*A. sarothamni* sur les genêts.

📖 Noury (1955), Mouillé (1980).

**126. *Asphondylia verbasci* (Vallot, 1827)
[21446] :**

Les boutons floraux des molènes sont gonflés par des larves jaunes se nourrissant de mycélium.

📖 Mouillé (1980).

**127. *Bayeriola salicariae* (Kieffer, 1888)
[250179] :**

La cécidie touche généralement les bourgeons axillaires des salicaires sous forme d'une hypertrophie.

📖 Martel (1893-1894), Mouillé (1980).

**128. *Bayeriola thymicola* (Kieffer, 1888)
[250180] :**

Galle « en artichaud » velue à l'extrémité des rameaux de thym (1 à 2 cm de diamètre).

📖 Kieffer (1899), Mouillé (1980).

♀ Cécidies observées par CP sur *Thymus sp.* à Hénouville (2019).



**129. *Contarinia acerplicans* (Kieffer, 1889)
[21458] :**

Les feuilles de différents érables présentent des plissures gonflées brunes contenant des larves blanches sauteuses.

📖 Mouillé (1980).

**130. *Contarinia anthonoma* (Kieffer, 1890)
[250120] :**

Les boutons floraux des genêts sont gonflés, ne s'ouvrent pas et brunissent. Ils accueillent plusieurs larves sauteuses blanches ou jaunâtres.

📖 Martel (1893-1894), Mouillé (1980).

**131. *Contarinia barbichei* (Kieffer, 1890)
[250126] :**

Sur les lotiers, les entre-nœuds supérieurs sont raccourcis et sur les feuilles supérieures, les folioles et les stipules sont épaissies et enroulées vers l'intérieur. Les larves sauteuses blanches ou jaune pâle sont grégaires.

📖 Kieffer (1899), Mouillé (1980).

**132. *Contarinia carpini* Kieffer, 1897
[250130] :**

La cécidie est un pli renflé entre deux nervures de feuille de charme. On y observe plusieurs larves blanches.

📖 Mouillé (1980).

**133. *Contarinia coryli* (Kaltenbach, 1859)
[250132] :**

Les chatons des noisetiers sont hypertrophiés, déformés et noircissent par endroits. On y observe plusieurs larves blanches.

📖 Mouillé (1980).

**134. *Contarinia echii* (Kieffer, 1895)
[250135] :**

Les boutons floraux de vipérine sont malformés et restent fermés. Y résident des larves sauteuses jaune citron.

📖 Mouillé (1980).

**135. *Contarinia helianthemi* (Hardy, 1850)
[977186] :**

La cécidie est constituée de feuilles terminales d'hélianthème déformées et réunies en une masse ovoïde. Les larves sont orangées.

📖 Mouillé (1980).

**136. *Contarinia jacobaeae* (Loew, 1850)
[250141] :**

Les capitules des fleurs de séneçon ou les parties supérieures des tiges sont gonflés. Les larves jaunâtres sont groupées et sauteuses.

📖 Kieffer (1899).

137. *Contarinia lonicerearum* (Löw, 1877) :

Les fleurs de chèvrefeuille restent fermées et sont enflées à la base. Les larves sauteuses sont orangées.

📖 Mouillé (1980).

**138. *Contarinia loti* (De Geer, 1776)
[21463] :**

La présence de larves jaunes sauteuses dans les fleurs encore fermées de lotier provoque une hypertrophie de celles-ci avec des teintes rougeâtres.

📖 Martel (1893-1894), Kieffer (1899).

♀ Cécidies observées par CP sur *Lotus corniculatus* à Paluel (2018).

**139. *Contarinia medicaginis* Kieffer, 1895
[250145] :**

Les fleurs de luzerne restent fermées et sont enflées à la base. Les larves jaunissent en grandissant.

📖 Mouillé (1980).

**140. *Contarinia nasturtii* (Kieffer, 1888)
[21466] :**

Les fleurs de brassicacées sont gonflées par des larves jaunes sauteuses.

📖 Noury (1950), Mouillé (1980).

141. *Contarinia nikolayi* (Rübsaamen, 1895) [977197] :

Les fleurs de grande berce sont gonflées, déformées et restent fermées. Souvent, plusieurs galles sur une même ombelle. Les larves sauteuses sont blanches ou jaune pâle.

📖 Mouillé (1980).



142. *Contarinia onobrychidis* Kieffer, 1895 [250148] :

Les fleurs de sainfoin sont déformées et restent fermées. Les larves sauteuses sont jaune citron et grégaires.

📖 Mouillé (1980).

143. *Contarinia ononidis* Kieffer, 1899 [250149] :

Les entre-nœuds des pousses de bugrane sont rabougris en un bouquet dense. Les larves sont jaunes et sauteuses.

📖 Kieffer (1899), Mouillé (1980).

144. *Contarinia petioli* (Kieffer, 1898) [21467] :

Des larves orange provoquent une cécidie en forme de bille au niveau des pétiotes des feuilles de tremble.

♀ Cécidies observées par CP sur *Populus tremula* à Grainville-la-Teinturière (2018).

145. *Contarinia pyrivora* (Riley, 1886) [21470] :

De nombreuses larves croissent et déforment les jeunes poires en formation. Elles végètent alors et prennent une teinte noire.

📖 Mouillé (1980).

146. *Contarinia quinquenotata* (F. Low, 1888) [910886] :

Les boutons floraux des hémérocailles sont gonflés, déformés et restent fermés. À l'intérieur de la cécidie, on observe de nombreuses larves jaune orangé et sauteuses.

♀ Observations rapportées par l'intermédiaire du site internet collaboratif galerie-insecte.org à Varengueville-sur-Mer (2016).

147. *Contarinia rhamni* (Rübsaamen, 1892) :

Les boutons floraux de nerprun ou de bourdaine restent fermés et boursoufflés. Les larves jaunes sont grégaires et sauteuses.

📖 Mouillé (1980).

148. *Contarinia sambuci* (Kaltenbach, 1873) [250153] :

Des larves jaunes croissent au sein de la corolle des fleurs de sureau. Les fleurs parasitées se distinguent dans l'ombelle car elles sont plus grosses et fermées.

📖 Martel (1893-1894).

♀ Cécidies observées par CP sur *Sambucus nigra* à Cany-Barville (2019).

149. *Contarinia scoparii* (Rübsaamen, 1889) [21473] :

Les bourgeons terminaux des genêts présentent une galle ovoïde. La cécidie peut être aussi un gonflement elliptique de la tige. La larve solitaire, jaune à orange, peut sauter.

📖 Martel (1893-1894), Mouillé (1980).

150. *Contarinia steini* (Karsch, 1881) [21474] :

Les fleurs de silène sont gonflées ou déformées. Les larves sont jaunes ou oranges.

📖 Mouillé (1980).

📍 Cécidies observées par CP sur *Silene dioica* à Grainville-la-Teinturière (2023).

151. *Contarinia tiliarum* (Kieffer, 1890) [21475] :

Des larves jaunes sauteuses forment des renflements parfois rougeâtres dans les pétioles, les pédoncules et les jeunes pousses des tilleuls.

📖 Mouillé (1980).

📍 Cécidies observées par CP sur *Tilia sp.* à Cany-Barville (2019).

152. *Contarinia tritici* (Kirby, 1798) [21476] :

Les larves dorées de la cécidomyie provoquent une atrophie des grains de blé qui ne se repère qu'en égrainant méticuleusement un épi.

📖 Mouillé (1980).

153. *Craneiobia corni* (Giraud, 1863) [21478] :

Les galles sont en forme de bosses plus ou moins fortes qui ressortent particulièrement au niveau des nervures centrales des faces inférieures des feuilles de cornouiller.

📖 Mouillé (1980).

📍 Cécidies observées par CP sur *Cornus sanguinea* à Hénouville (2019).

154. *Cystiphora sanguinea* (Bremi, 1847) [21480] :

Les feuilles d'épervière arborent de nombreuses taches circulaires contenant chacune une larve visible par transparence.

📖 Kieffer (1899), Mouillé (1980).

155. *Cystiphora sonchi* (Vallot, 1827) [21483] :

Cécidies très visibles sur les feuilles de laiteron. Ce sont des taches circulaires décolorées ou rougeâtres d'environ 5 mm de diamètre, souvent en grand nombre sur une feuille.

📖 Kieffer (1899), Mouillé (1980).

📍 Cécidies observées par CP sur *Sonchus arvensis* à Saint-Pierre-le-Viger (2020).

156. *Cystiphora taraxaci* (Kieffer, 1888) [21485] :

Les feuilles de pissenlit sont plus ou moins ponctuées de taches cerclées de rouge contenant chacune une larve.

📖 Kieffer (1899).

📍 Cécidies observées par CP sur *Taxacum sp.* à Gonnetot (2018) et à Dieppe (2019).

**157. *Dasineura acrophila* (Winnertz, 1853)
[21495] :**

Plusieurs larves épaississent la nervure centrale d'une foliole de feuille de frêne jusqu'à parfois lui donner l'apparence d'une gousse.

📖 Kieffer (1899), Mouillé (1980).

**158. *Dasineura aparines* (Kieffer, 1889)
[21497] :**

Epaississement et raccourcissement des tiges de gaillet gratteron par la présence de larves jaune soufré ou jaune pâle.

♀ Cécidies observées par CP sur *Galium aparine* à Gonnetot (2018).

**159. *Dasineura asperulae* (F. Löw, 1875)
[250037] :**

Les parties terminales des aspérules et de certains gaillets fusionnent en une masse spongieuse qui abrite des larves rouges.

📖 Mouillé (1980).

**160. *Dasineura auricomi* (Kieffer, 1909)
[250039] :**

Les akènes de la renoncule à tête d'or sont gonflés. Les larves sont jaunes.

📖 Mouillé (1980).

**161. *Dasineura auritae* Rübсаamen, 1916
[21498] :**

Les feuilles de saule présentent des plissements vers l'intérieur épaissis contenant chacun une larve jaune.

♀ Cécidies observées par CP sur *Salix cinerea* à Grainville-la-Teinturière (2018) et à Vittefleury (2018).

**162. *Dasineura cerastii* (Binnie, 1877)
[250050] :**

A l'extrémité d'une pousse de céraiste, plusieurs feuilles rougeâtres et velues sont regroupées et abritent des larves orange.

📖 Kieffer (1899).

**163. *Dasineura crataegi* (Winnertz, 1853)
[21504] :**

Les feuilles d'aubépine se crispent et s'agglomèrent. Elles portent de petites protubérances fines vertes ou rouges.

📖 Kieffer (1899), Mouillé (1980).

♀ Cécidies observées par CP sur *Crataegus monogyna* à Gonnetot (2018) et à Paluel (2018 et 2019).

**164. *Dasineura dioicae* (Rübсаamen, 1895)
[977348] :**

Les limbes des jeunes feuilles d'ortie dioïque s'enroulent à leur base. Larves blanches.

📖 Mouillé (1980).

**165. *Dasineura epilobii* (Low, 1889)
[848740] :**

Les fleurs encore en bouton d'épilobe gonflent et hébergent plusieurs larves rouges.

📖 Noury (1936), Mouillé (1980).

**166. *Dasineura fraxini* (Bremi, 1847)
[21508] :**

Des larves jaunes forment des bombements au niveau de la nervure centrale des faces inférieures des feuilles de frêne.

📖 Kieffer (1899), Noury (1950), Mouillé (1980).

♀ Cécidies observées par CP sur *Fraxinus excelsior* à Gonnetot (2018). Observations rapportées par l'intermédiaire du site internet collaboratif galerie-insecte.org à Saint-Léger-du-Bourg-Denis (2009).

167. *Dasineura geisenheyneri* (Kieffer, 1904) :

Les boutons floraux d'hippocrévide chevelue sont gonflés et restent fermés. Les larves à l'intérieur sont rouges.

📖 Mouillé (1980).

168. *Dasineura glechomae* (Kieffer, 1889) [21544] :

Les deux jeunes feuilles supérieures de lierre terrestre sont étroitement pressées l'une contre l'autre et forment ainsi une cavité pour de petites larves blanches.

📖 Kieffer (1899), Mouillé (1980).

169. *Dasineura hygrophila* (Mik, 1883) [21545] :

Petite galle globuleuse et colorée entre deux feuilles terminales repliées de gaillet des marais ou espèce proche.

📖 Mouillé (1980).

170. *Dasineura hyperici* (Bremi, 1847) [21546] :

Les feuilles terminales des millepertuis forment une boule et présentent des décolorations. Pour éviter les confusions avec des espèces proches, l'observation de larves évoluées est indispensable. Grégaires, elles sont oranges ou rouges.

📖 Mouillé (1980).

171. *Dasineura irregularis* (Bremi, 1847) [21547] :

Le développement des larves provoque un plissement anarchique des feuilles d'érable.

📖 Mouillé (1980).

♀ Cécidies observées par CP sur *Acer pseudoplatanus* à Yerville (2018) et Limésy (2018).

172. *Dasineura kiefferi* Marchal, 1896 [250064] :

Les boutons floraux de lierre infestés restent fermés et gonflent. Cécidie éphémère (elle tombe au sol rapidement).

📖 Mouillé (1980).

173. *Dasineura kiefferiana* (Rübsaamen, 1891) [21549] :

Les feuilles des épilobes en épi ont leurs marges enroulées. La cécidie est légèrement gonflée et peut être colorée de jaune ou de rouge.

📖 Mouillé (1980).

174. *Dasineura lotharingiae* (Kieffer, 1888) [250070] :

Boutons floraux ou feuilles terminales des céraistes gonflés. Larves rouge orangé.

📖 Mouillé (1980).

175. *Dasineura lupulinae* (Kieffer, 1891) [250071] :

Les pousses de luzerne sont déformées en une masse pileuse et dure entourée par les stipules épaissies. Les larves rouges sont grégaires.

📖 Mouillé (1980).

**176. *Dasineura mali* (Kieffer, 1904)
[250072] :**

La galle est formée principalement sur les jeunes feuilles de pommier avec un enroulement partiel du limbe. Les larves sont d'abord blanches puis deviennent rougeâtres.

📖 Martel (1893-1894), Mouillé (1980).

177. *Dasineura marginemtorquens* (Bremi, 1847) [21550] :

La galle jaunâtre ou rougeâtre est formée sur les feuilles de saule avec un enroulement marginal vers l'intérieur du limbe. Les larves sont jaune orangé.

📖 Noury (1950), Mouillé (1980).

♀ Cécidies observées par CP sur *Salix viminalis* à Paluel (2018).

**178. *Dasineura medicaginis* (Bremi, 1847)
[250073] :**

La cécidie de cette espèce est une hypertrophie des bourgeons foliaires des luzernes.

📖 Mouillé (1980).

**179. *Dasineura odoratae* Stelter, 1982
[908923] :**

Les feuilles de violette odorante (galle inféodée uniquement à cette espèce) ont leurs bords gonflés et enroulés, parfois totalement. Les larves sont jaune orangé.

📖: Les données anciennes de cette espèce ne distinguent pas *Dasineura affinis* de *D. odoratae*, espèce validée qu'à la fin du 20^e Siècle.

♀ Cécidies observées par CP sur *Viola odorata* à Gonnetot (2018).

**180. *Dasineura papaveris* (Winnertz, 1890)
[250077] :**

La cécidie se trouve à l'intérieur des fruits de pavot ou coquelicot. L'extérieur semble normal, pourtant les cloisons internes (septum) sont gonflées et parasitées par de nombreuses larves.

📖 Mouillé (1980).

181. *Dasineura periclymeni* (Rübsaamen, 1889) [250078] :

Le bord des feuilles de chèvrefeuille est épaissi et enroulé vers l'intérieur. Larves grégaires jaunes à rouges.

📖 Mouillé (1980).

**182. *Dasineura plicatrix* (Loew, 1850)
[21551] :**

Les feuilles de ronce (dont le framboisier) s'entortillent et paraissent contractées. Larves grégaires blanches.

📖 Kieffer (1899), Noury (1950), Mouillé (1980).

♀ Cécidies observées par CP sur *Rubus fruticosus* à Grainville-la-Teinturière (2018), Paluel (2018) et Sainte-Marguerite-sur-Mer (2020).



183. *Dasineura populeti* (Rübsaamen, 1889) [21552] :

Les feuilles de tremble ont leurs bords gonflés et enroulés, parfois totalement. Les larves sont blanches.

📖 Kieffer (1899), Mouillé (1980).

♀ Cécidies observées par CP sur *Populus tremula* à Grainville-la-Teinturière (2018).

184. *Dasineura pteridicola* (Kieffer, 1901) [21553] :

Une à plusieurs larves blanches engendrent un enroulement marginal des pinnules des feuilles de fougère aigle de couleur jaune à brun. Pas de gonflement des pinnules.

📖 Noury (1929), Mouillé (1980).

185. *Dasineura pteridis* (Müller, 1871) [250085] :

La larve orangée est à l'abri dans un enroulement de pinnule de feuille de fougère aigle de couleur brun à noir. Les pinnules paraissent gonflées.

📖 Martel (1893-1894), Noury (1929), Mouillé (1980).

♀ Cécidies observées par CP sur *Pteridium aquilinum* au Hanouard (2018).

186. *Dasineura pulsatillae* (Kieffer, 1894) [250086] :

Les fruits de pulsatille sont déformés et renflés à la base avec une pilosité anormale.

📖 Mouillé (1980).

187. *Dasineura pustulans* (Rübsaamen, 1889) [21554] :

Les feuilles de reine-des-prés arborent de multiples pustules vert clair enfermant chacune une larve translucide.

📖 Noury (1950), Mouillé (1980).

188. *Dasineura pyri* (Bouché, 1847) [21555] :

Les jeunes feuilles de poirier ont leurs bords gonflés et enroulés, parfois totalement. Les larves, nombreuses, sont blanches ou rougeâtres.

📖 Mouillé (1980).

♀ Cécidies observées par CP sur *Pyrus sp.* à Cany-Barville (2018).

189. *Dasineura ranunculi* (Bremi, 1847) [21556] :

La base des feuilles de renoncule est gonflée, déformée et peut présenter une coloration sombre.

📖 Mouillé (1980).

♀ Cécidies observées par CP sur *Ranunculus repens* à Gonnetot (2023).

190. *Dasineura rosae* (Bremi, 1847) [854085] :

Le développement de larves orange provoque le gonflement et le plissement, partiel ou total, des folioles de rosier ou d'églantier.

📖 Kieffer (1899), Mouillé (1980).

♀ Cécidies observées par CP sur *Rosa sp.* à Cany-Barville (2018) et à Gonnetot (2018).

**191. *Dasineura saxifragae* (Kieffer, 1891)
[250092] :**

Les fleurs de la saxifrage granulée restent fermées et gonflent. Larves grégaires jaunes.

📖 Mouillé (1980).

**192. *Dasineura serotina* (Winnertz, 1853)
[21562] :**

Les bourgeons terminaux des millepertuis, recouverts des feuilles terminales, sont hypertrophiés et renferment plusieurs larves blanches.

📖 Kieffer (1899), Mouillé (1980).

**193. *Dasineura similis* (F. Löw, 1888)
[250096] :**

Les deux feuilles supérieures de diverses véroniques se plaquent l'une contre l'autre et rougissent. Les larves sont grégaires et jaune orangé.

📖 Mouillé (1980).

**194. *Dasineura sisymbrii* (Schrank, 1803)
[21564] :**

Hypertrophie des fleurs ou des inflorescences de diverses brassicacées présentant des larves orange.

📖 Martel (1893-1894), Mouillé (1980).

**195. *Dasineura strumosa* (Bremi, 1847)
[250101] :**

Les bourgeons du lamier jaune arborent à l'aisselle des feuilles de petites hypertrophies avec une larve blanche à l'intérieur.

📖 Martel (1893-1894), Mouillé (1980).

196. *Dasineura symphyti* (Rübsaamen, 1891) [977438] :

Les boutons floraux de consoude restent fermés et se déforment à leur base. Le calice est densément poilu. Larves blanchâtres.

📖 Mouillé (1980).

**197. *Dasineura thomasiana* (Kieffer, 1888)
[21567] :**

Les feuilles de tilleul se replient plus ou moins fortement sur elles-même avec des épaississements et une pilosité marquée. Larves blanches puis rouge orangé.

📖 Mouillé (1980).

**198. *Dasineura tiliae* (Schrank, 1803)
[21568] :**

Les feuilles de tilleul ont leurs bords gonflés et enroulés avec parfois une coloration rouge ou brune. Les larves sont orange foncé.

📖 Martel (1893-1894), Mouillé (1980).

♀ Cécidies observées par CP sur *Tilia* sp. à Cany-Barville (2019).

**199. *Dasineura tortilis* (Bremi, 1847)
[21570] :**

Les feuilles d'aulne se plissent et s'épaississent pour accueillir des larves jaunes puis orangées. La cécidie brunit avec le temps.

📖 Mouillé (1980).

**200. *Dasineura trifolii* (F. Löw, 1874)
[21572] :**

Les folioles des feuilles de trèfle sont repliées et gonflées au niveau de leur nervure centrale avec une coloration rougeâtre.

📖 Mouillé (1980).

♀ Cécidies observées par CP sur *Trifolium repens* à Gonnetot (2023).

201. *Dasineura trotteri* (Tavares, 1902) :

Petit gonflement latéral d'une tige de cytise avec une larve rouge orangé.

📖 Mouillé (1980).

202. *Dasineura tubicoloides* Gagné, 2004 [250107] :

La cécidie est présente le long des tiges de genêt sous forme d'un bourgeon latéral transformé en tube brun avec au sommet deux ou quatre dents. La larve vit dans la partie basale de ce tube.

📖 Kieffer (1899), Mouillé (1980).

203. *Dasineura turionum* (Kieffer & Trotter, 1904) [250108] :

Les turions ou les jeunes rameaux des asperges sont déformés et gonflés par des larves rouges ou roses.

📖 Mouillé (1980).

204. *Dasineura tympani* (Kieffer, 1909) [250109] :

Les feuilles d'érable champêtre montrent de petits gonflements lenticulaires d'un diamètre de 4 à 6 mm avec en dessous une petite dépression. La larve est solitaire.

📖 Noury (1950).

205. *Dasineura ulmaria* (Bremi, 1847) [21573] :

Les feuilles de la reine-des-prés sont couvertes de petites pustules vert tendre ou rougissantes. Les larves sont jaune pâle.

📖 Noury (1950), Mouillé (1980).

♀ Cécidies observées par CP sur *Filipendula ulmaria* à Ponts-et-Marais (2018) et Grainville-la-Teinturière (2018).



206. *Dasineura urticae* (Perris, 1840) [21574] :

Le feuillage des orties arbore diverses loges plus ou moins gonflées, parfois colorées de rouge, pouvant déformer tiges et feuilles.

📖 Noury (1950), Mouillé (1980).

♀ Cécidies observées par CP sur *Urtica dioica* à Paluel (2018), Grainville-la-Teinturière (2018), Hénouville (2019) et Sainte-Marguerite-sur-Mer (2020). Observations rapportées par l'intermédiaire du site internet collaboratif Inaturalist.org à Petit-Quevilly (2021) et Foucart (2022).



**207. *Dasineura viciae* (Kieffer, 1888)
[250113] :**

Les folioles des vesces sont gonflées, décolorées et ont l'apparence de petites gousses. L'extrémité des tiges semble souvent raccourcie car l'ensemble des cécidies peuvent former un nœud dense. Les larves blanches occupent chaque loge par groupes de 2 à 4 individus.

📖 Kieffer (1899), Mouillé (1980).

♀ Cécidies observées par CP sur *Vicia sepium* à Gonnetot (2022).



**208. *Dasineura violae* (F. Löw, 1880)
[250114] :**

Sur les pensées, agglomérat de feuilles déformées ou de nodosités contenant des larves orangées.

📖 Mouillé (1980).

**209. *Dasineura virgaeaureae* (Liebel, 1889)
[250115] :**

Les feuilles de verge d'or, essentiellement apicales, ont leur marge enroulée vers le haut et s'assemblent entre elles. Lorsque ce sont les capitules qui sont touchés, ils sont gonflés

et restent fermés. Les larves jaune pâle à orange sont grégaires.

📖 Kieffer (1899), Mouillé (1980).

**210. *Didymomyia tiliacea* (Bremi, 1847)
[21577] :**

Les feuilles de tilleul présentent des vésicules assez prononcées et cerclées de rouge, contenant une larve jaune pâle.

📖 Mouillé (1980).

♀ Observations rapportées par l'intermédiaire du site internet collaboratif Inaturalist.org à Darnétal (2023).

**211. *Diodaulus linariae* (Winnertz, 1853)
[21580] :**

Galle « en artichaud » dans les parties sommitales des linaires. Larve solitaire.

📖 Kieffer (1899), Mouillé (1980).

**212. *Diodaulus traili* (Kieffer, 1889)
[21581] :**

Les boutons floraux du petit boucage deviennent globuleux, souvent rougeâtres, et restent fermés. Chacun abrite une larve sauteuse jaune.

📖 Kieffer (1899), Mouillé (1980).

213. *Geocrypta galii* (Loew, 1850) [21583] :

Gonflements bullaires très remarquables des tiges de gaillet. Chacun loge plusieurs larves jaune foncé.

📖 Martel (1893-1894), Mouillé (1980).

♀ Cécidies observées par CP sur *Galium verum* à Paluel (2019).

214. *Geocrypta trachelii* (Wachtl, 1885) [848765] :

Les boutons floraux des campanules sont renflés et restent fermés. Larves rouge orangé.

📖 Mouillé (1980).

215. *Giraudiella inclusa* (Frauenfeld, 1862) [250025] :

Les cécidies se forment dans la paroi interne des tiges de roseau commun. Il est plus aisé d'observer les orifices de sortie des moucheron comme indice de présence puis de constater l'état de l'intérieur de la plante.

📖 Mouillé (1980).

216. *Haplodiplosis marginata* (von Roser, 1840) [21587] :

Le chaume de plusieurs graminées, généralement au-dessus du nœud le plus élevé, montre plusieurs déformations étroites avec des larves rouges.

📖 Noury (1921 et 1936), Mouillé (1980).

217. *Harmandiola cavernosa* (Rübsaamen, 1899) [250019] :

Les feuilles de tremble développent une galle sphérique rouge de 4 à 5 mm visible des 2 côtés mais croissant particulièrement du côté inférieur. La larve solitaire est orange.

📖 Mouillé (1980).

♀ Cécidies observées par CP sur *Populus tremula* à Grainville-la-Teinturière (2018).

218. *Harmandiola globuli* (Rübsaamen, 1889) [250020] :

Les feuilles de tremble développent une ou plusieurs galles sphériques rouges de 2 ou 3

mm visibles surtout du côté supérieur. La larve solitaire est orange.

📖 Martel (1893-1894), Mouillé (1980).

♀ Cécidies observées par CP sur *Populus tremula* à Grainville-la-Teinturière (2018) et Sainte-Marguerite-sur-Mer (2020).

219. *Harmandiola tremulae* (Winnertz, 1853) [250022] :

Les feuilles de tremble développent une ou plusieurs galles sphériques rouges de 4 ou 5 mm visibles du côté supérieur et fortement étranglées à la base. La larve solitaire est orange.

📖 Mouillé (1980).

220. *Hartigiola annulipes* (Hartig, 1839) [21596] :

Les feuilles de hêtre présentent de petites galles hérissées qui prennent avec le temps la forme de petits clous avec une pilosité brune.

📖 Kieffer (1899), Mouillé (1980).

♀ Cécidies observées par CP sur *Fagus sylvatica* à Gonnetot (2018) et Sainte-Marguerite-sur-Mer (2022). Observations rapportées par l'intermédiaire du site internet collaboratif Inaturalist.org à Bolleville (2020), Ancourt (2021), Lillebonne (2021), Déville-lès-Rouen (2021) et Houpeville (2021).

221. *Hybolasioptera fasciata* (Kieffer, 1904) [250015] :

La gaine au-dessus d'un nœud de tige de graminée (nombreuses espèces) est déformée et présente une couleur noirâtre.

📖 Mouillé (1980).

**222. *Iteomyia capreae* (Winnertz, 1853)
[21598] :**

Les feuilles de saule développent de petites pustules jaunes avec un sommet rougeâtre. Une larve solitaire orange à rouge.

📖 Kieffer (1899).

📍 Observations rapportées par l'intermédiaire du site internet collaboratif Inaturalist.org à Bolleville (2020).

**223. *Iteomyia major* (Kieffer, 1889)
[250014] :**

Les nervures médianes ou les veines des feuilles de saule ont un ou plusieurs gonflements uniloculaires durs et à paroi épaisse, fusionnés en un complexe noueux. Larve rouge orangé.

📖 Kieffer (1899).

📍 Cécidies observées par CP sur *Salix caprea* à Vittefleury (2018), Paluel (2018) et Saint-Nicolas-de-la-Taille (2022).



**224. *Jaapiella dittrichi* (Rübsaamen, 1895)
[250008] :**

Les nervures des feuilles de séséli sont gonflées et le limbe intermédiaire est plissé

vers le haut. Les cécidies peuvent rougir. Larves rouges.

📖 Noury (1921 et 1950).

**225. *Jaapiella floriperda* (Low, 1888)
[848769] :**

Hypertrophie des organes floraux. Larves nombreuses rougeâtres.

📍 Cécidies observées par CP sur *Silene vulgaris* au Bourg-Dun (2020).



**226. *Jaapiella genisticola* (F. Löw, 1877)
[21603] :**

La cécidie est une masse de feuilles terminales pileuses à l'extrémité des tiges de différents genêts. Larves blanches ou rosées.

📖 Mouillé (1980).

**227. *Jaapiella jaapiana* (Rübsaamen,
1914) [977510] :**

Les folioles de luzerne se replient vers le haut et forment des sortes de gousses. Larves blanches ou jaune pâle.

📖 Mouillé (1980).

**228. *Jaapiella veronicae* (Vallot, 1827)
[21604] :**

La sommité des véroniques forme une boule velue qui abrite une larve orangée.

📖 Kieffer (1899), Noury (1955), Mouillé (1980).

📍 Cécidies observées par CP sur *Veronica chamaedrys* à Grainville-la-Teinturière (2018) et Cany-Barville (2018).

**229. *Janetia panteli* (Kieffer, 1909)
[911580] :**

Petite galle plate et lenticulaire affectant le parenchyme des feuilles de chêne.

📖 Mouillé (1980).

**230. *Janetiella glechomae* Tavares, 1930
[250002] :**

La larve vit dans un fruit de lierre terrestre qui grossit anormalement.

📖 Noury (1921), Mouillé (1980).

**231. *Kaltenbachiola strobi* (Winnertz,
1853) [21610] :**

A la base des écailles des cônes d'épicéa, à l'intérieur, une pustule plus claire contient une larve rouge. Les cônes touchés restent fermés plus longtemps.

📖 Mouillé (1980).

**232. *Kiefferia pericarpicola* (Bremi, 1847)
[21612] :**

Les fruits de diverses apiacées sont hypertrophiés. Chez la carotte, la cécidie prend une couleur rougeâtre qui la rend aisée à repérer au sein de l'ombelle. Les larves sont oranges à rouges.

📖 Martel (1893-1894), Kieffer (1899), Noury (1921), Mouillé (1980).

📍 Cécidies observées par CP sur *Daucus carota* à Paluel (2018).



**233. *Lasioptera calamagrostidis* Rübsaamen, 1893
[249993] :**

Sous la gaine foliaire de plusieurs espèces de graminées, le chaume présente une légère dépression aux bords relevés. Plusieurs larves orange.

📖 Mouillé (1980).

**234. *Lasioptera carophila* F. Löw, 1874
[21615] :**

La cécidie est un gonflement de la base des ombelles ou des ombellules de nombreuses apiacées. La larve est orange et solitaire.

📖 Noury (1921), Mouillé (1980).

**235. *Lasioptera eryngii* (Vallot, 1829)
[249995] :**

Des larves orange provoquent un net gonflement de la tige, des pétioles et des veines principales des panicauts.

📖 Mouillé (1980).

**236. *Lasioptera populnea* Wachtl, 1883
[21616] :**

Galle assez massive saillante des deux côtés des limbes des feuilles de tremble. Larve solitaire et orange.

📖 Mouillé (1980).

**237. *Lasioptera rubi* (Schrank, 1803)
[21617] :**

Lorsqu'elles grandissent, les larves provoquent un gonflement des tissus des tiges de ronce (et plantes apparentées) ainsi qu'une division dans le sens de la longueur de leur écorce. Larves orangées en groupe.

📖 Kieffer (1899), Mouillé (1980).

♀ Cécidies observées par CP sur *Rubus sp.* à Veauville-les-Quelles (2018) et Grainville-la-Teinturière (2018). Observations rapportées par l'intermédiaire du site internet collaboratif Inaturalist.org à Vatteville-la-Rue (2021).

238. *Lathyromyza schlechtendali* (Kieffer, 1886) [249991] :

Les folioles de la vesce cracca et de certaines gesses sont enroulées et abritent des larves blanches ou rosées.

📖 Mouillé (1980).

**239. *Loewiola centaureae* (F. Löw, 1875)
[21622] :**

Les nervures principales et latérales des feuilles de centaurees développent des renflements ovales, saillants des deux côtés entourés d'une marge jaune ou violette. Larves solitaires, jaunes à orange.

📖 Martel (1893-1894), Kieffer (1899), Mouillé (1980).

♀ Cécidies observées par CP sur *Centaurea sp.* à Cany-Barville (2020).

240. *Macrodiplosis pustularis* (Bremi, 1847) [249959] :

Les lobes des feuilles de chêne se retrouvent pliées vers l'intérieur, ponctués de jaune et abritent une ou plusieurs larves orange pâle.

📖 Kieffer (1899), Noury (1950 et 1965), Mouillé (1980).

♀ Cécidies observées par CP sur *Quercus robur* à Veauville-les-Quelles (2018), Saint-Riquier-es-Plains (2018) et Le Hanouard (2018).

**241. *Macrodiplosis roboris* (Hardy, 1854)
[249960] :**

Les lobes des feuilles de chêne sont pliés vers l'extérieur de manière marginale avec des larves d'abord blanches puis oranges.

📖 Kieffer (1899).

♀ Cécidies observées par CP sur *Quercus robur* à Veauville-les-Quelles (2018) et Saint-Riquier-es-Plains (2018).

**242. *Macrolabis cirsii* (Rübsaamen, 1890)
[919618] :**

Les larves jaunes de ce moucheron vivent libres dans les capitules des cirses qui s'en retrouvent un peu déformées.

📖 Kieffer (1899).

**243. *Macrolabis heraclei* Kaltenbach, 1862
[21627] :**

Les jeunes feuilles de berce se recroquevillent et abritent de nombreuses larves blanches.

📖 Mouillé (1980).

244. *Macrolabis holostearum* Rübsaamen, 1917 [977565] :

Les deux feuilles terminales de stellaire holostée sont sans pétiole, raccourcies et épaissies. Elles évoquent les deux valves d'un coquillage. On y trouve des larves jaunâtres.

📖 Mouillé (1980).

245. *Macrolabis marteli* Kieffer, 1892 [249957] :

Des larves blanches enroulent le bord des feuilles de millepertuis vers le bas. La cécidie a une pilosité anormale.

📖 Martel (1893-1894).

246. *Macrolabis pilosellae* (Binnie, 1877) [21629] :

Plusieurs feuilles au centre de la rosette des piloselles sont recourbées et crispées avec une apparence pâle et feutrée.

📖 Mouillé (1980).

247. *Macrolabis stellariae* (Liebel, 1889) [21630] :

Les deux feuilles terminales de différentes espèces de stellaires sont sans pétiole, raccourcies et épaissies. Elles évoquent les deux valves d'un coquillage. On y trouve des larves jaune citron.

📖 Mouillé (1980).

248. *Massalongia ruber* (Kieffer, 1890) [249953] :

La galle affecte les feuilles de bouleau sous la forme d'un renflement ligneux le long de la nervure médiane devenant rouge-violet. Elle peut également affecter la pétiole.

📖 Kieffer (1899).

249. *Mayetiola dactylidis* Kieffer, 1896 [249947] :

La partie inférieure de la tige du dactyle aggloméré est faiblement renflée. Entre la gaine foliaire et le chaume, se trouvent une ou plusieurs larves blanches.

📖 Mouillé (1980).

250. *Mayetiola destructor* (Say, 1817) [21635] :

Le chaume de diverses graminées est faiblement renflé et présente, juste au-dessus d'un nœud, une ou plusieurs dépressions ovales peu profondes où l'on trouve une larve translucide.

📖 Noury (1921).

251. *Mayetiola graminis* (Fourcroy, 1785) [249948] :

La tige des pâturins présente un renflement au dessus d'un nœud avec un sillon vertical d'où émergent de chaque côté un amas de filaments.

📖 Mouillé (1980).

252. *Mayetiola holci* Kieffer, 1896 [249950] :

Le chaume des houlques présente près d'un nœud, une ou plusieurs dépressions ovales peu profondes dissimulées par la gaine foliaire. La larve présente est blanche.

📖 Kieffer (1899).

253. *Mayetiola lanceolatae* (Rübsaamen, 1895) :

Au sommet des chaumes de calamagrostides, les entrenœuds sont très fortement raccourcis et les feuilles déformées. Au centre des larves blanches.

📖 Mouillé (1980).

254. *Mayetiola radificata* (Rübsaamen, 1895) [908777] :

La tige du pâturin des bois montre une cécidie semblable à celle provoquée par *M. graminis* mais les filaments sont irréguliers car ils ne proviennent pas d'un même sillon.

📖 Mouillé (1980).

255. *Mikiola fagi* (Hartig, 1839) [21638] :

Cette galle se repère aisément sur les feuilles de hêtre avec sa forme pointue typique. Elle abrite une larve blanche.

📖 Noury (1950), Mouillé (1980).

♀ Cécidies observées par CP sur *Fagus sylvatica* à Etalleville (2018), Veauville-lès-Quelles (2018), Grainville-la-Teinturière (2018), Canouville (2018), Cany-Barville (2018), Yébleron (2018), et Sainte-Marguerite-sur-Mer (2020). Observations rapportées par l'intermédiaire du site internet collaboratif Inaturalist.org à Arelaune-en-Seine (2019), Foucart (2020), Bolleville (2020), Houpeville (2020), Ancourt (2021), Val-de-la-Haye (2021), Lillebonne (2021), Déville-lès-Rouen (2021), Maulévrier-Sainte-Gertrude (2021), Vatteville-la-Rue (2021), Canteleu (2021) et Varengeville-sur-Mer (2022).

256. *Monarthropalpus flavus* (Schrank, 1776) [249941] :

La larve du moucheron provoque la formation d'une cloque sous les feuilles de buis.

📖 Noury (1950).

♀ Cécidies observées par CP sur *Buxus sempervirens* à Grainville-la-Teinturière (2018).

257. *Obolodiplosis robiniae* (Haldeman, 1847) [783856] :

Espèce introduite en Europe en 2003 et d'origine nord-américaine. Les jeunes folioles de robinier parasitées ont une ou plusieurs parties marginales repliées vers l'intérieur et épaissies. La cécidie accueille quelques larves blanchâtres.

♀ Cécidies observées par CP sur *Robinia pseudoacacia* à Saint-Pierre-le-Viger (2018), Gainneville (2018) et le Havre (2023).

258. *Oligotrophus juniperinus* (Linnaeus, 1758) [21647] :

A l'extrémité des rameaux de genévrier commun, des verticilles de feuilles s'allongent et la cécidie formée évoque une fleur de tulipe.

📖 Mouillé (1980).

259. *Ozirhincus longicollis* Rondani, 1840 [21650] :

Des akènes de plusieurs espèces appartenant à la tribu des Anthemidae gonflent et abritent une larve orange.

📖 Mouillé (1980).

260. *Ozirhincus millefolii* (Wachtl, 1884) [21652] :

Des akènes d'achillée gonflent et abritent une larve solitaire.

📖 Mouillé (1980).

261. *Physemocercis hartigi* (Liebel, 1892) [249929] :

Multiples petites galles plates et lenticulaires présentes sur les feuilles de tilleul contenant chacune une larve blanche.

📖 Noury (1950).

♀ Cécidies observées par CP *Tilia sp.* à Grainville-la-Teinturière (2023).



262. *Physemocecis ulmi* (Kieffer, 1909) [249930] :

Petites galles plates et lenticulaires sur les feuilles d'orme contenant chacune une larve blanche.

📖 Mouillé (1980).

263. *Placochela nigripes* (F. Löw, 1877) [21657] :

Hypertrophie des fleurs de troène ou de sureau. La larve herbergée est orange.

📖 Mouillé (1980).

264. *Planetella gallarum* (Rübsaamen, 1899) [977722] :

Galle ovoïdale, lisse et brillante, attachée sur côté long à la base de la tige de divers carex.

📖 Mouillé (1980).

265. *Planetella gr. caricis* :

Ce groupe d'espèces de cécidomies produit des galles ovales à la base ou sur les feuilles de laiche. Il est très difficile de distinguer les espèces sans une analyse complète des larves en présence.

📖 Houard (1913).

♀ Cécidies observées par CP sur *Carex sp.* à Tancarville (2021).



266. *Putoniella pruni* (Kaltenbach, 1872) [21661] :

Les nervures des feuilles des pruniers et prunelliers présentent une hypertrophie plus ou moins allongée et colorée.

📖 Mouillé (1980).

♀ Cécidies observées par CP sur *Prunus spinosa* à Paluel (2019).

267. *Rabdophaga albipennis* (Loew, 1850) [977745] :

La larve rouge du moucheron provoque un léger gonflement de rameau de saule blanc immédiatement sous un bourgeon.

📖 Mouillé (1980).

**268. *Rabdophaga clavifex* (Kieffer, 1891)
[249902] :**

La cécidie est une grappe de 4 à 12 bourgeons de saule poilus accompagnés d'un épaississement de la tige concernée. Larve rouge ou orangée.

📖 Martel (1893-1894), Mouillé (1980).

**269. *Rabdophaga dubiosa* Kieffer, 1913
[249903] :**

Cécidie ressemblant fortement à celle de *R. salicis*. Galle en forme de poire ou fusiforme, de 1 à 2 cm de long pour 5 à 10 mm de large, sur les jeunes branches de saule. Elle est bombée sur tous les côtés ou, souvent, unilatéralement avec un bourgeon terminal. L'écorce n'est pas craquelée. À l'intérieur, plusieurs chambres accueillent une larve jaune citron ou orange clair. La nymphe ne peut quitter la galle que par l'intermédiaire d'un bourgeon dormant.

📖 Martel (1893-1894), Mouillé (1980).

♀ Cécidies observées par CP sur *Salix sp.* à Saint-Nicolas-de-la-Taille (2022).

**270. *Rabdophaga heterobia* (Loew, 1850)
[249905] :**

Les larves de la génération printanière forment une hypertrophie des chatons de saule à 3 étamines. La galle de la génération estivale est un bourgeon gonflé de saule à 3 étamines qui ne s'ouvre que partiellement en une rosette velue et où vivent plusieurs larves rouge orangé.

📖 Martel (1893-1894), Mouillé (1980).

**271. *Rabdophaga iteobia* (Kieffer, 1890)
[249906] :**

Les feuilles terminales des rameaux des saules marsault, cendré ou roux se rassemblent en

une rosette avec une base gonflée hébergeant des larves orange.

📖 Mouillé (1980).

**272. *Rabdophaga nervorum* (Kieffer, 1895)
[249908] :**

Faible gonflement fusiforme de la nervure médiane des feuilles de nombreux saules avec une larve solitaire orangée.

📖 Mouillé (1980).

**273. *Rabdophaga pierrei* (Kieffer, 1896)
[249910] :**

Faible épaississement de l'écorce des saules marsault, cendré ou roux dû à la présence d'une galle sous celle-ci. La présence d'orifices de sortie permet de compléter l'identification.

📖 Mouillé (1980).

**274. *Rabdophaga pulvini* (Kieffer, 1891)
[249911] :**

Les bases des feuilles des saules marsault, cendré ou roux, en particulier leur coussinet foliaire (pulvinus), sont gonflées par des larves rougeâtres.

📖 Mouillé (1980).

**275. *Rabdophaga rosaria* (Loew, 1850)
[977793] :**

La cécidie est un assemblage de feuilles à la terminaison des branches de saule. La galle évoque une fleur. La larve est solitaire et rouge orangé.

📖 Mouillé (1980).

♀ Cécidies observées par CP sur *Salix alba* à Grainville-la-Teinturière (2018), Le-Trait (2021) et Saint-Wandrille-Rançon (2021).

276. *Rabdophaga rosariella* (Kieffer, 1897)

:

Les larves provoquent la formation d'une très petite rosette de feuilles au niveau des bourgeons latéraux des branches des saules roux ou cendré.

📖 Mouillé (1980).

277. *Rabdophaga saliciperda* (Dufour, 1841) [249912] :

Sous l'influence de larves qui vivent sous l'obier des branches de saules appartenant au groupe des saules blancs, l'écorce gonfle, se fend et s'effiloche.

📖 Mouillé (1980).

278. *Rabdophaga salicis* (Schrank, 1803) [249913] :

Cécidie ressemblant fortement à celle de *R. dubiosa*. Elle présente un gonflement irrégulier, généralement sur tous les côtés, d'une fine branche de saule d'environ 1 cm d'épaisseur pour 5 cm de long. Les cécidies sont souvent nombreuses et peuvent fusionner. L'écorce est généralement craquelée et squameuse. Les bourgeons dormants sont irrégulièrement répartis en surface. Les galles fraîches sont vertes, les anciennes brunes foncées. Les loges dans le bois contiennent chacune une larve orange. Avant l'émergence, la nymphe sort de la galle en un endroit choisi au hasard.

📖 Mouillé (1980).

♀ Cécidies observées par CP sur *Salix sp.* à Tancarville (2021) et Saint-Nicolas-de-la-Taille (2022).



279. *Rabdophaga terminalis* (Loew, 1850) [249915] :

Les feuilles terminales des branches de saules appartenant au groupe des saules blancs, sont accolées et forme une cécidie fusiforme abritant des larves rougeâtres.

📖 Mouillé (1980).

280. *Resseliella betulicola* (Kieffer, 1889) [249895] :

Les larves jaunâtres de cette cécidomyie se développent dans les jeunes feuilles à peine déployées de bouleau et les atrophiaient.

📖 Martel (1893-1894), Kieffer (1899), Mouillé (1980).

281. *Rhopalomyia foliorum* (Loew, 1850) [21665] :

Les feuilles supérieures des armoises présentent de petites galles ovoïdes jaunes ou violacées contenant une larve jaunâtre. Le sommet de la tige peut être également déformé.

📖 Mouillé (1980).

282. *Rhopalomyia hypogaea* (F. Löw, 1885) [249888] :

La tige des marguerites est fortement gonflée et courbée. Les bourgeons près du collet sont également souvent infestés. Larve solitaire.

📖 Mouillé (1980).

283. *Rhopalomyia millefolii* (Loew, 1850) [21666] :

Petites galles ovoïdes à l'aisselle des feuilles des achillées. Larves jaunes et solitaires.

📖 Mouillé (1980).

284. *Rhopalomyia ptarmicae* (Vallot, 1849) [21667] :

Les capitules des achillées sont transformés en cécidie globuleuse bien visible où chaque loge contient une larve blanchâtre.

📖 Mouillé (1980).

285. *Rhopalomyia tanaceticola* (Karsch, 1879) [21668] :

Cécidie verte au-dessus du capitule ou à l'aisselle des feuilles de la tanaisie commune. Larve solitaire rosée.

📖 Mouillé (1980).

286. *Rondaniola bursaria* (Bremi, 1847) [21670] :

Les feuilles de lierre terrestre développent des sortes de petits clous velus qui croissent en hauteur.

📖 Kieffer (1899), Mouillé (1980).

♀ Cécidies observées par CP sur *Glechoma hederacea* à Gonnetot (2018).

287. *Sackenomyia reaumurii* (Bremi, 1847) [249885] :

Les feuilles de viorne lantane sont recouvertes de pustules vert jaune à rougeâtres contenant chacune une larve orangée.

📖 Mouillé (1980).

288. *Schizomyia galiorum* Kieffer, 1889 [21672] :

Les boutons floraux de diverses rubiacées sont largement hypertrophiés. Tapissés de mycélium nutritif, ils accueillent chacun une à trois larves orange.

📖 Kieffer (1899), Mouillé (1980).

289. *Semudobia betulae* (Winnertz, 1853) [249884] :

Les fruits des bouleaux se trouvent hypertrophiés par la présence d'une larve orange.

📖 Kieffer (1899), Noury (1921), Mouillé (1980).

♀ Cécidies observées par CP sur *Betula pubescens* à Saint-Riquier-es-Plains (2019).

290. *Spurgia euphorbiae* (Vallot, 1827) [906183] :

Amas terminal de feuilles sur les euphorbes en une cécidie sphérique souvent teintée de rouge.

📖 Mouillé (1980).

291. *Stefaniella ceconii* Kieffer, 1909 [977811] :

Faible gonflement elliptique d'une tige d'arroche. Larve solitaire orange pâle.

📖 Mouillé (1980).

292. *Stefaniella trinacriae* Stefani, 1900 [977812] :

Renflement fusiforme d'une tige d'arroche, atteignant 2 cm de large. Larves solitaires jaunâtres.

📖 Mouillé (1980).

293. *Taxomyia taxi* (Inchbald, 1861) [249881] :

Galles « en artichaud » présentes aux extrémités des tiges d'if. Les larves sont solitaires et orange.

📖 Noury (1950), Mouillé (1980).

♀ Cécidies observées par CP sur *Taxus baccata* à Grainville-la-Teinturière (2018), Cany-Barville (2018), Gainneville (2018) et Reuville (2018).



294. *Wachtliella persicariae* (Linnaeus, 1767) [21678] :

Les feuilles des persicaires ou autres polygonacées se recroquevillent fortement et prennent une teinte rouge. Chaque cécidie contient plusieurs larves blanc-orange qui s'y nymphosent dans un cocon blanc.

📖 Mouillé (1980).

♀ Cécidies observées par CP sur *Persicaria maculosa* à Grainville-la-Teinturière (2018) et Vittefleury (2018).



295. *Wachtliella stachydis* (Bremi, 1847) [21681] :

Les boutons floraux des épiaires sont hypertrophiés et les bords des feuilles enroulés, décolorés et gonflés. Plusieurs larves jaunâtres.

📖 Mouillé (1980).

296. *Zeuxidiplosis giardi* (Kieffer, 1896) [249875] :

Une paire de feuilles terminales de tige de millepertuis est fortement raccourcie et forme une galle sphérique rougeâtre. On y trouve une ou deux larves orange.

📖 Mouillé (1980).

297. *Zygiobia carpini* (F. Löw, 1874) [21685] :

Développement sous les feuilles de charme au niveau de la nervure centrale de renflements qui, ensemble, donnent une masse difforme.

📖 Mouillé (1980).

♀ Cécidies observées par CP sur *Carpinus betulus* à Hénouville (2019).

298. *Chlorops pumilionis* (Bjerkander, 1778) [25942] :

À l'extrémité des tiges de diverses graminées, plusieurs entre-nœuds sont fortement raccourcis, provoquant un amas de feuilles atrophiées et superposées. Au centre, une larve jaunâtre ou blanchâtre.

📖 Noury (1921 et 1955), Mouillé (1980).

299. *Chlorops strigulus* (Fabricius, 1794) [25959] :

Cécidies similaires à celles de *C. pumilionis*, mais uniquement sur les tiges de brachypodes. La détermination des imagos est nécessaire.

📖 Mouillé (1980).

300. *Lipara lucens* Meigen, 1830 [25729] :

La larve de cette mouche croît et se nourrit au sein des tiges de roseau commun. Les entre-nœuds supérieurs sont complètement raccourcis et leurs gaines foliaires sont contractées. La plante présente une apparence globale anormale. La larve solitaire, jaunâtre, se trouve dans une chambre juste en dessous du point de croissance. L'analyse des imagos est nécessaire pour distinguer cette espèce.

📖 Mouillé (1980).

301. *Lipara rufitarsis* Loew, 1858 [25733] :

Même cécidie que *L. lucens*. L'analyse des imagos est nécessaire.

📖 Noury (1955), Mouillé (1980).

302. *Acanthiophilus helianthi* (Rossi, 1794) [216942] :

Une ou plusieurs larves se nourrissent des akènes de diverses composées du groupe des

cirses et des centaurées, provoquant une malformation du capitule.

📖 Mouillé (1980).

303. *Anomoia purmunda* (Harris, 1780) [216948] :

Les larves infestent les baies de berbérises qui se recroquevillent et bleuissent.

♀ Observations d'imagos rapportées par l'intermédiaire du site internet collaboratif Inaturalist.org à Mesnières-en-Bray (2021).

304. *Dithryca guttularis* (Meigen, 1826) [24693] :

La cécidie est un gonflement charnu et fusiforme à la base de la tige ou sur les racines d'achillée millefeuille.

📖 Mouillé (1980).

305. *Euphranta connexa* (Fabricius, 1794) [24621] :

Les larves de cette mouche provoquent un gonflement des fruits de dompte-venin qui souvent se tordent et se décolorent.

📖 Mouillé (1980).

306. *Noeeta pupillata* (Fallén, 1814) [24714] :

Déformation du réceptacle des capitules d'épervière qui se retrouvent malformés.

📖 Martel (1893-1894), Mouillé (1980).

307. *Oxyna flavipennis* (Loew, 1844) [24763] :

La galle est un renflement brun globuleux, au niveau du collet des achillées ou des marguerites, pouvant atteindre 8 mm.

📖 Mouillé (1980).

📍 Observations d'imagos rapportées par l'intermédiaire du site internet collaboratif Inaturalist.org à Vieux-Manoir (2023).

308. *Oxyna nebulosa* (Wiedemann, 1817) [24767] :

Un ou plusieurs renflements charnus se situent sur le collet de la marguerite.

📖 Mouillé (1980).

309. *Sphenella marginata* (Fallén, 1814) [24798] :

Le capitule des séneçons est élargi sur toute sa base, lui donnant une forme conique.

📖 Kieffer (1899), Mouillé (1980).

📍 Observations d'imagos rapportées par l'intermédiaire du site internet collaboratif Inaturalist.org à Rouen (2023).

310. *Tephritis bardanae* (Schrank, 1803) [24811] :

Le réceptacle des bardanes se développe en une galle noire et durcie.

📖 Mouillé (1980).

📍 Observations d'imagos rapportées par l'intermédiaire du site internet collaboratif Inaturalist.org à Petit-Couronne (2023).

311. *Tephritis leontodontis* (De Geer, 1776) [24821] :

Gonflement et déformation des capitules de liondent.

📖 Mouillé (1980).

312. *Tephritis neesii* (Meigen, 1830) [217012] :

Le réceptacle des marguerites est légèrement déformé par la présence des larves de ces mouches.

📍 Observations d'imagos rapportées par l'intermédiaire du site internet collaboratif galerie-insecte.org à Saint-Léger-du-Bourg-Denis (2009).

313. *Terellia tussilaginis* (Fabricius, 1775) [217027] :

Les akènes de bardanes (rarement des cirses) sont légèrement déformés par la présence d'une larve.

📍 Observations d'imagos rapportées par l'intermédiaire du site internet collaboratif galerie-insecte.org à Montivilliers (2010).

314. *Urophora cardui* (Linnaeus, 1758) [24113] :

La présence de larves provoque un gonflement volumineux des tiges de cirse.

📍 Cécidies observées par CP sur *Cirsium arvense* à Berville-sur-Seine (2013), Gonnetot (2018), Vittefleury (2018), Grainville-la-Teinturière (2018) et Anneville-Ambourville (2018).

315. *Urophora quadrifasciata* (Meigen, 1826) [24118] :

Les larves de cette espèce provoquent un gonflement des akènes des composées du groupe des centaurees.

📖 Mouillé (1980).

**316. *Urophora solstitialis* (Linnaeus, 1758)
[24120] :**

Gonflement et lignification du réceptacle des fleurs de chardons, cirses ou centaurees.

📖 Kieffer (1899), Mouillé (1980).

**317. *Urophora stylata* (Fabricius, 1775)
[24128] :**

Les larves de cette espèce provoquent un fort gonflement et durcissement du réceptacle des composées du groupe des chardons.

📖 Mouillé (1980).

**318. *Xyphosia miliaria* (Schrank, 1781)
[24841] :**

Les larves se développent dans les capitules des chardons (au sens large) et provoquent une légère déformation.

♀ Observations d'imagos rapportées par l'intermédiaire collaboratif du site internet galerie-insecte.org au Tilleul (2010).

VI. Classe des INSECTA / Ordre des Hymenoptera :

**319. *Andricus curvator* Hartig, 1840
[52664] :**

Les larves de ce cynips entraînent une malformation d'une feuille, d'un pétiole ou d'une jeune tige de chêne. La masse formée, de couleur vert clair à brun pâle, est plus ou moins globulaire et mesure jusqu'à 1 cm.

📖 Kieffer (1899), Noury (1950).

♀ Cécidies observées par CP sur *Quercus robur* à Saint-Riquier-es-Plains (2018) et Veauville-lès-Quelles (2018).

**320. *Andricus foecundatrix* (Hartig, 1840)
[236457] :**

Galle formée par l'hypertrophie et le surnombre des écailles de bourgeons de chêne. Le bourgeon devenu globulaire peut mesurer 1 cm de diamètre.

♀ Cécidies observées par CP sur *Quercus robur* à Grainville-la-Teinturière (2018).

**321. *Andricus inflator* Hartig, 1840
[52666] :**

Pour la génération agame : galle des bourgeons de chêne lisse et globuleuse, dont la base est entourée d'écailles, avec une paroi externe dure et rainurée

Pour la génération sexuée : gonflement de l'extrémité des jeunes branches de chêne.

📖 Martel (1893-1894), Kieffer (1899).

**322. *Andricus kollari* (Hartig, 1843)
[52667] :**

Pour la génération agame : galle typique des bourgeons de chêne, sphérique et mesurant jusqu'à 2 cm de diamètre.

📖 Martel (1893-1894).

♀ Cécidies observées par CP sur *Quercus robur* à Beuzeville-la-Guéraud (2018) et Veauville-lès-Quelles (2018). Observations rapportées par l'intermédiaire du site internet collaboratif Inaturalist.org à Saint-Etienne-du-Rouvray (2021), Lillebonne (2023), Darnétal (2023) et Petit-Couronne (2023).

323. *Andricus quercuscalicis* (Burgsdorff, 1783) [236477] :

Pour la génération agame : galle en étoile, avec un aspect cireux, développée à partir de la cupule d'un gland de chêne.

📖 Observations rapportées par l'intermédiaire du site internet collaboratif Inaturalist.org à Le-Petit-Quevilly (2021), Mont-Saint-Aignan (2022) et Varengueville-sur-Mer (2022).

324. *Andricus quercusradicis* (Fabricius, 1798) [236480] :

Pour la génération agame : galle s'apparentant à un tubercule de forme irrégulière accroché à une racine de chêne dépassant en surface. D'abord molle avec des teintes rougeâtre, la galle se lignifie par la suite.

📖 Kieffer (1899).

325. *Aulacidea hieracii* (Linnaeus, 1758) [849791] :

Galle globuleuse dans les tiges d'épervière mesurant jusqu'à 3 cm de diamètre. Elle peut être glabre ou velue. La partie de la plante située au-dessus de la galle est généralement atrophiée.

📖 Kieffer (1899), Noury (1950).

326. *Aylax minor* Hartig, 1840 [236507] :

Les fruits de coquelicot ou de pavot infestés sont déformés, raccourcis et plus globuleux qu'à la normale.

📖 Martel (1893-1894), Kieffer (1899).

327. *Biorhiza pallida* (Olivier, 1791) [236443] :

Pour la génération agame : nodosités groupées et attachées aux racines de chêne.

Pour la génération sexuée : grande galle plutôt globulaire des bourgeons de chêne avec des teintes jaunes et rouge évoquant une pomme (elle atteint jusqu'à 5 cm de diamètre).

📖 Cécidies observées par CP sur *Quercus robur* à Sommesnil (2018), Beuzeville-la-Guérand (2018), Veauville-lès-Quelles (2018), Gonnetot (2019) et Sainte-Marguerite-sur-Mer (2020). Observations rapportées par l'intermédiaire du site internet collaboratif Inaturalist.org à Varengueville-sur-Mer (2019) et Jumièges (2023).

328. *Cynips agama* Hartig, 1840 [236433] :

Pour la génération agame : petite masse blanchâtre globulaire mais irrégulière se développant sur les nervures des feuilles de chêne.

📖 Noury (1965).

329. *Cynips divisa* Hartig, 1840 [236435] :

Pour la génération agame : petite galle sphérique avec une couleur brune à rouge évoquant une groseille. Elle croît sur les nervures des feuilles de chêne.

📖 Noury (1948 et 1965).

📖 Cécidies observées par CP sur *Quercus robur* à Canouville (2018). Observations rapportées par l'intermédiaire du site internet collaboratif Inaturalist.org à Ancourt (2021).

330. *Cynips longiventris* Hartig, 1840 [236437] :

Pour la génération agame : petite galle sphérique mais avec des reliefs bosselés ou longilignes. Ses couleurs sont variables allant du jaune au rouge et les reliefs contrastant par une couleur plus claire. Elle croît sur les nervures des feuilles de chêne.

📖 Kieffer (1899), Noury (1965).

♀ Cécidies observées par CP sur *Quercus robur* à Grainville-la-Teinturière (2018), Veauville-lès-Quelles (2018) et Yébleron (2018). Observations rapportées par l'intermédiaire du site internet collaboratif Inaturalist.org à Bolbec (2019).



331. *Cynips quercusfolii* Linnaeus, 1758 [236439] :

Pour la génération agame : galle moyenne, verte à rouge, sphérique et généralement lisse (une surface avec de petites bosselures peut exister parfois). Elle se développe sur les nervures de la face inférieure des feuilles de chêne.

📖 Kieffer (1899).

♀ Observations rapportées par l'intermédiaire du site internet collaboratif Inaturalist.org à Lillebonne (2021), La Londe (2021), Saint-Etienne-du-Rouvray (2021) et Vatteville-la-Rue (2022).

332. *Diastrophus rubi* (Bouché, 1834) [52682] :

Cécidie sous forme d'un épaississement local des tiges de ronce qui peut être accompagné

d'une déformation de l'axe de pousse (il n'est pas rare que la galle soit arquée). A l'intérieur, de nombreuses loges sont visibles lorsque la galle sèche.

♀ Cécidies observées par CP sur *Rubus sp.* à Grainville-la-Teinturière (2019) et Hénouville (2019).

333. *Diplolepis eglanteriae* (Hartig, 1840) [236408] :

Galle sphérique de la taille d'un petit pois glabre aux teintes rougeâtres sur les tiges de rosiers sauvages. Confusion possible avec *D. nervosa* qui peut être lisse mais qui généralement possède des extensions épineuses fines ou grossières.

♀ Cécidies observées par CP sur *Rosa canina* à Grainville-la-Teinturière (2018).

334. *Diplolepis mayri* (Schlechtendal, 1877) [236409] :

Galle globulaire très épineuse sur les bourgeons ou sur la face inférieure d'une feuille de rosier sauvage. D'abord verte, puis rouge, enfin brune et dure à maturité. Généralement plusieurs galles fusionnent ensemble pour donner une masse irrégulière pouvant atteindre 5 cm.

📖 Martel (1893-1894).

335. *Diplolepis rosae* (Linnaeus, 1758) [236411] :

L'une des galles les plus connues, qui affecte les parties aériennes des rosiers ou églantiers, et que l'on appelle le bédégar. Il s'agit d'une galle massive développant des filaments évoquant une chevelure.

♀ Cécidies observées par CP sur *Rosa canina* à Grainville-la-Teinturière (2018), Anneville-Ambourville (2018) et Cany-Barville (2022). Observations rapportées par l'intermédiaire

du site internet collaboratif Inaturalist.org à Arelaune-en-Seine (2018), Le-Bourg-Dun (2020), Vatteville-la-Rue (2021), Mesnières-en-Bray (2021) et Petit-Couronne (2023).



336. *Diplolepis spinosissima* (Giraud, 1859) [236412] :

Cécidie sous forme de pustules en relief sur les deux faces des folioles de rosier. Les cécidies sont teintées de rouge.

📖 Martel (1893-1894).

337. *Dryocosmus kuriphilus* Yasumatsu, 1951 [783803] :

Espèce d'origine chinoise introduite en Europe en 2002 et en France en 2005. La galle peut se développer sur un bourgeon ou une feuille de châtaignier. La masse verte ou rougeâtre déforme les feuilles. Une infestation dans une châtaigneraie peut provoquer de sévères baisses de production.

📍 Cécidies observées par CP sur *Castanea sativa* à Maromme (2022).



338. *Isocolus scabiosae* (Giraud, 1859) [236502] :

Renflement fusiforme et charnu des tiges de centaurees atteignant jusqu'à 5 cm de large.

📖 Martel (1893-1894).

339. *Liposthenes glechomae* (Linnaeus, 1758) [236498] :

Galle massive, globuleuse et velue se développant sur une tige ou au sein d'une feuille de Lierre terrestre. Elle est souvent teintée de rouge. Plusieurs galles peuvent fusionner.

📍 Cécidies observées par CP sur *Glechoma hederacea* à Gonnetot (2018).

340. *Neuroterus albipes* (Schenck, 1863) [52686] :

Pour la génération agame : petite galle assez ronde, blanc crème avec parfois des teintes rougeâtres. Sa forme évoque un béret. La guêpe affecte la face inférieure des feuilles de chêne. Il existe une forme avec des bords entièrement recroquevillés sur eux-mêmes (sous-espèce *reflexus* non reconnue par l'INPN).

📖 Kieffer (1899).

📍 Cécidies observées par CP sur *Quercus robur* à Saint-Pierre-le-Viger (2018), Grainville-

la-Teinturière (2018), Veauville-lès-Quelles (2018), Canouville (2018), Yébleron (2018) et Sainte-Marguerite-sur-Mer (2020). Observations rapportées par l'intermédiaire du site internet collaboratif Inaturalist.org à Bolleville (2020).

341. *Neuroterus anthracinus* (Curtis, 1838) [236427] :

Pour la génération agame : très petite galle se développant, face inférieure, sur la nervure centrale des feuilles de chêne. Ce sont d'abord des lamelles qui apparaissent, puis comme une huitre, elles s'ouvrent pour laisser croître une excroissance globuleuse plus ou moins ponctuée de rouge.

📖 Kieffer (1899), Noury (1965).

♀ Cécidies observées par CP sur *Quercus robur* à Gonnetot (2018), Saint-Pierre-le-Viger (2018), Cany-Barville (2018) et Sainte-Marguerite-sur-Mer (2020).

342. *Neuroterus numismalis* (Fourcroy, 1785) [52688] :

Pour la génération agame : si le nom de cette petite guêpe évoque des pièces de monnaies pour rappeler la forme de ses galles qui se développent sous les feuilles de chêne, celles-ci ressemblent plus à un bouton presseur femelle. Recouvertes de denses poils bruns, elles sont très reconnaissables.

📖 Kieffer (1899), Noury (1965).

♀ Cécidies observées par CP sur *Quercus robur* à Grainville-la-Teinturière (2018), Veauville-lès-Quelles (2018) et Yébleron (2018).



343. *Neuroterus albipes* (Schenck, 1863) [52686] :

Pour la génération agame : petite galle blanc crème ronde en forme de soucoupe avec une pilosité fine. L'insecte affecte la face inférieure des feuilles de chêne.

Pour la génération sexuée : galles qui ensemble ressemblent à des grappes de baies sur les chatons mâles de chêne, moins souvent sur les feuilles.

📖 Kieffer (1899).

♀ Cécidies observées par CP sur *Quercus robur* à Grainville-la-Teinturière (2018), Veauville-lès-Quelles (2018) et Yébleron (2018). Observations rapportées par l'intermédiaire du site internet collaboratif Inaturalist.org à Bolleville (2020).

344. *Neuroterus tricolor* (Hartig, 1841) [236431] :

Pour la génération agame : cette génération forme des galles lenticulaires blanches ou rougeâtres en forme d'assiette sur la face inférieure des feuilles de chêne. Ils ressemblent à ceux de *N. quercusbaccarum*, mais sont plus petits.

Pour la génération sexuée : les galles, souvent regroupées, sont des petits boutons très pileux sur la face inférieure des feuilles de chêne.

📖 Kieffer (1899).

345. *Pediaspis aceris* (Gmelin, 1790) [236407] :

Pour la génération sexuée : les galles, souvent regroupées, sont en forme de baies ou d'excroissances ovoïdes sur les feuilles, les fleurs ou les samares d'érable.

♀ Cécidies observées par CP sur *Acer pseudoplatanus* à Hénouville (2019) et Maromme (2022). Observations rapportées par l'intermédiaire du site internet collaboratif Inaturalist.org à Darnétal (2020), Gruchet-le-Valasse (2022), Déville-lès-Rouen (2022), Mont-Saint-Aignan (2022), Sainte-Austreberthe (2022), Saint-Léger-du-Bourg-Denis (2023), Amfreville-la-Mi-Voie (2023) et Lillebonne (2023).



346. *Phanacis hypochoeridis* (Kieffer, 1887) [308926] :

Renflement allongé de la tige des porcelles. La cécidie est bien visible et peut atteindre 5 cm de long.

📖 Martel (1893-1894), Kieffer (1899).

♀ Cécidies observées par CP sur *Hypochaeris radicata* à Paluel (2020).



347. *Timaspis lusitanica* Tavares, 1904 [236493] :

La cécidie est un gonflement évasé de la tige des crépides.

📖 Noury (1922-1923).

348. *Xestophanes brevitarsis* (Thomson, 1877) [236489] :

Galles rondes et charnues de 2 à 3 mm de large évoluant sur les tiges ou les stolons de potentilles, plutôt à la base. Groupées et alignées, elles ne fusionnent pas entre elles.

📖 Kieffer (1899).

349. *Xestophanes potentillae* (Retzius in De Geer, 1773) [236490] :

Galles rondes et charnues de 3 à 5 mm de large évoluant sur les tiges ou les stolons de potentilles. Groupées, elles fusionnent souvent entre elles en un alignement massif.

📖 Kieffer (1899).

**350. *Tetramesa hyalipennis* (Walker, 1832)
[910799] :**

La cécidie est un fort raccourcissement des entre-nœuds supérieurs des chiendents ainsi que leur épaissement pour former une cavité. L'allure générale de la plante est modifiée.

📖 Noury (1955).

♀ Cécidies observées par CP sur *Elymus repens* à Gonnetot (2023).



**351. *Euura atra* (Jurine, 1807)
[52506] :**

Faible gonflement des jeunes branches de saule blanc ou de saule pourpre (ou autres espèces proches), atteignant 1,5 cm de long. L'écorce reste lisse.

📖 Chevin (2018).

**352. *Euura brevicornis* (Förster, 1854)
[853182] :**

Galle globulaire, plus ou moins velue, attachée en un point à la face inférieure des feuilles de saule cendré.

♀ Cécidies observées par CP sur *Salix cinerea* à Ponts-et-Marais (2018), Grainville-la-Teinturière (2018) et Vittefleury (2018).

**353. *Euura bridgmanii* (Cameron, 1883)
[791931] :**

Généralement une feuille de saule accueille plusieurs galles en forme de haricot abritant les larves de cette mouche à scie. La galle est lisse, reste généralement verte et n'atteint pas la nervure centrale de la feuille.

♀ Cécidies observées par CP sur *Salix caprea* à Gonnetot (2018).

**354. *Euura leucosticta* (Hartig, 1837)
[817330] :**

Marge des feuilles de saule faiblement enroulée vers l'intérieur généralement d'un seul côté.

📖 Chevin (2018).

**355. *Euura mucronata* (Hartig, 1837)
[52507] :**

Les bourgeons floraux de divers saules sont gonflés et particulièrement fermes. Une cicatrice due à la ponte est bien visible à la base.

♀ Observation d'un imago rapportée par Chevin (2018) à Anneville-Ambourville (2009).

**356. *Euura pedunculii* (Hartig, 1837)
[791938] :**

Galle globulaire, plus ou moins velue, attachée en un point à la face inférieure des feuilles de saule (mais pas le saule cendré).

📖 Martel (1893-1894), Noury (1955).

**357. *Euura proxima* (Audinet-Serville,
1823) [79193] :**

Les feuilles de saule blanc (et variétés proches), portent jusqu'à 20 galles serrées les unes contre les autres. Plutôt cylindriques et

lisses elles arborent une couleur rouge côté supérieur et jaunâtre côté inférieur.

📖 Kieffer (1899).

♀ Cécidies observées par CP sur *Salix alba* à Grainville-la-Teinturière (2018). Observations rapportées par l'intermédiaire du site internet collaboratif Inaturalist.org à Heurteauville (2022).

**358. *Euura scotaspis* (Förster, 1854)
[791925] :**

La larve de cette mouche à scie provoque l'enroulement partiel vers le bas du bord d'une feuille de saule des vanniers. La galle est un tube étroit.

NB : l'analyse de la larve est nécessaire pour distinguer l'espèce de *E. anglica* ou de *E. piliserra*.

📖 Observations d'imagos rapportées par Berland (1947).

**359. *Euura viminalis* (Linnaeus, 1758)
[791944] :**

Galle sphérique glabre, mais avec de petites protubérances, attachée à la face inférieure des feuilles de saule pourpre. Coloration verte, jaune ou rouge.

📖 Noury (1955).

VII. Classe des INSECTA / Ordre des Coleoptera :

**360. *Saperda populnea* (Linnaeus, 1758)
[12481] :**

La larve de ce capricorne évolue dans les tiges de jeunes plants de tremble ou d'autres salicacées. La cécidie est une boursouflure.

📖 Martel (1893-1894), Kieffer (1899).

♀ Cécidies observées par CP sur *Populus tremula* à Paluel (2020).

Pour les familles des Brentidae et des Curculionidae, insectes que l'on nomme couramment les charançons, notre rapportage est essentiellement basé sur les travaux de Grancher (2013) mais aussi de quelques observations historiques ou partagées via les sites internet collaboratifs.

La quasi-totalité de ces observations concernent des imagos. Toutefois, si l'imago est observé, la cécidie provoquée par sa larve, même discrète est nécessairement présente dans une aire proche. Aussi, il nous paraissait important de faire figurer ce groupe très riche dans ce document.

**361. *Betulapion simile* (W. Kirby, 1811)
[242100] :**

La larve de ce charançon provoque par ses galeries une déformation des chatons de bouleau.

📖 Grancher (2013).

♀ Observations d'imagos rapportées par Grancher (2013) aux Loges (2007), Saint-Arnoult (2007), Notre-Dame-du-Bec (2007), La-Mailleraye-sur-Seine (2008) et La Poterie-Cap-d'Antifer (2009).

**362. *Catapion pubescens* (Kirby, 1811)
[242081] :**

Renflement fusiforme à la base des tiges de trèfle ou coronille.

📖 Grancher (2013).

**363. *Catapion seniculus* (Kirby, 1811)
[242082] :**

Renflement léger des tiges de trèfle.

📖 Grancher (2013).

♀ Observations d'imagos rapportées par Grancher (2013) à Montivilliers (2001).

**364. *Cyanapion gyllenhalii* (Kirby, 1808)
[242073] :**

Gonflement fusiforme de la tige, du pétiole ou du pédoncule des vesces.

📖 Grancher (2013).

365. *Holotrichapion aethiops* (Herbst, 1797) [242050] :

Léger gonflement des tiges de vesces.

📖 Grancher (2013).

**366. *Holotrichapion pisi* (Fabricius, 1801)
[242049] :**

Bourgeon avorté de luzerne.

📖 Grancher (2013).

**367. *Malvapion malvae* (Fabricius, 1775)
[242033] :**

Déformation des fruits en cours de croissance de diverses malvacées.

📖 Grancher (2013).

♀ Observations d'imagos rapportées par Grancher (2013) à Turretot (2007).

Observations d'imagos rapportées par l'intermédiaire du site internet collaboratif Inaturalist.org à Le-Petit-Quevilly (2020).

368. *Nanomimus hemisphaericus* (Olivier, 1807) [242798] :

Cécidie fusiforme ou globulaire à la base des tiges de salicaire.

📖 Grancher (2013).

369. *Omphalapion laevigatum* (Paykull, 1792) [241968] :

Déformation du réceptacle de diverses astéracées.

📖 Grancher (2013).

**370. *Perapion affine* (Kirby, 1808)
[241945] :**

Renflement fusiforme ou globulaire de l'axe de l'inflorescence des oseilles.

📖 Grancher (2013).

♀ Observations d'imagos rapportées par Grancher (2013) à Saint-Jouin-Bruneval (2001), Bénouville (2007) et La Poterie-Cap-d'Antifer (2012).

**371. *Perapion marchicum* (Herbst, 1797)
[241949] :**

Larves dans une galle située sur la partie inférieure de la tige et sur le collet de la renouée petite oseille. Ordinairement, plusieurs galles sont fusionnées en une masse tubéreuse de 1 à 3 cm de large.

📖 Grancher (2013).

♀ Observations d'imagos rapportées par Grancher (2013) à La Poterie-Cap-d'Antifer (2008).

372. *Phrissotrichum rugicolle* (Germar, 1817) [241944] :

Fleur de fumana et d'hélianthème déformée avec un ovaire gonflé.

📖 Grancher (2013).

373. *Pirapion immune* (Kirby, 1808) [242035] :

Renflements des branches de genêt ou d'ajonc mesurant jusqu'à 6 cm de long pour 0,5 cm d'épaisseur.

📖 Grancher (2013).

🔍 Observations d'imagos rapportées par Grancher (2013) à Vatteville-la-Rue (2004) et Saint-Jouin-Bruneval (2008).

374. *Protapion apricans* (Herbst, 1797) [242105] :

Plusieurs larves se développent dans un capitule de trèfle qui se transforme en une masse globulaire durcie.

📖 Grancher (2013).

🔍 Observations d'imagos rapportées par Grancher (2013) à Villequier (2003), La Mailleraye-sur-Seine (2008), Bénouville (2006) et Turretot (2007).

375. *Protapion varipes* (Germar, 1817) [242123] :

Plusieurs larves se développent dans un capitule de trèfle dans des galles allongées.

📖 Grancher (2013).

🔍 Observations d'imagos rapportées par Grancher (2013) à Tancarville (2007).

376. *Protopirapion atratum* (Germar, 1817) [242090] :

Les boutons floraux des genêts et ajoncs sont gonflés et restent fermés.

📖 Grancher (2013).

🔍 Observations d'imagos rapportées par Grancher (2013) à Saint-Jouin-Bruneval (2008) et Sainte-Marguerite-sur-Mer (2007).

377. *Squamapion atomarium* (Kirby, 1808) [242012] :

Petit gonflement ovale des tiges de thym, souvent près du collet ou en haut de la tige.

📖 Grancher (2013).

378. *Squamapion vicinum* (Kirby, 1808) [242024] :

Cécidie globulaire rougeâtre en haut des tiges de menthe ou de népéta.

📖 Grancher (2013).

379. *Stenoptera pion scutellare* (Kirby, 1811) [242089] :

Renflements globuleux d'environ 0,5 cm de large des jeunes tiges d'ajonc.

📖 Grancher (2013).

🔍 Observations d'imagos rapportées par Grancher (2013) à Sainte-Marguerite-sur-Mer (2012).

380. *Taeniapion urticarium* (Herbst, 1784) [242011] :

La cécidie est un faible gonflement des tiges d'ortie au niveau d'un nœud.

🔍 Observations d'imagos rapportées par Grancher (2013) à Saint-Jouin-Bruneval (2002 et 2006), La Poterie-Cap-d'Antifer (2008).

381. *Acentrotypus brunripes* (Boheman, 1839) [241986] :

Gonflement de la tige ou de l'axe de l'inflorescence de diverses cotonnières.

📖 Grancher (2013).

382. *Anthonomus pomorum* (Linnaeus, 1758) [15745] :

Hypertrophie des boutons floraux de pommier et poirier qui sèchent et deviennent brun clair.

📖 Martel (1893-1894), Noury (1955) pour les cécidies et Grancher (2013) pour les imagos.

📍 Observations d'imagos rapportées par Grancher (2013) aux Loges (2011).

383. *Anthonomus rubi* (Herbst, 1795) [15718] :

La présence de la larve dans un bouton floral de rosacée (fraise, ronce, benoîte, rose...) le fait avorter et sécher.

📖 Grancher (2013).

📍 Observations d'imagos rapportées comme très communes par Grancher (2013) sans précisions de lieux. Observations d'imagos rapportées par l'intermédiaire du site internet collaboratif Inaturalist.org à Foucart (2020).

384. *Ceutorhynchus assimilis* (Paykull, 1792) [15387] :

Gonflement, mesurant jusqu'à 1 cm, rond et charnu du collet de très nombreuses brassicacées. Plusieurs cécidies peuvent fusionner ensemble.

📖 Grancher (2013).

385. *Ceutorhynchus atomus* Boheman, 1845 [242740] :

La larve dans un renflement fusiforme des tiges d'alliaire et de cardamine.

📖 Grancher (2013).

📍 Observations d'imagos rapportées par Grancher (2013) à Anneville-Ambourville (2009).

386. *Ceutorhynchus chalybaeus* Germar, 1824 [242741] :

Cécidie fusiforme, longue d'1 ou 2 cm, dans le pétiole de nombreuses brassicacées.

📖 Grancher (2013).

387. *Ceutorhynchus hirtulus* Germar, 1824 [15508] :

Petites galles à la base de la tige de nombreuses brassicacées.

📖 Grancher (2013).

📍 Observations d'imagos rapportées par Grancher (2013) à Anneville-Ambourville (2009).

388. *Cleonis pigra* (Scopoli, 1763) [242233] :

Renflement pouvant atteindre 5 cm à la base de la tige de nombreuses astéracées.

📖 Grancher (2013).

📍 Observations d'imagos rapportées par l'intermédiaire du site internet collaboratif Inaturalist.org à Oudalle (2021).

389. *Dorytomus taeniatus* (Fabricius, 1781) [16705] :

Déformation des chatons de saule qui tombent prématurément.

📖 Grancher (2013).

📍 Observations d'imagos rapportées par Grancher (2013) à Sandouville (2007), Bardouville (2007), Bardouville (2007) et Saint-Jouin-Bruneval (2007) et Grainville-la-Teinturière (2008).

390. *Gymnetron aper* Desbrochers des Loges, 1892 [16111] :

Faible renflement allongé à la base d'une tige de véronique officinale.

📖 Grancher (2013).

391. *Gymnetron melanarium* (Germar, 1821) [16114] :

Petites déformations des tiges de diverses véroniques.

📖 Grancher (2013).

392. *Gymnetron villosulum* Gyllenhal, 1838 [16119] :

Hypertrophie des fruits des véroniques aquatiques.

📖 Grancher (2013).



393. *Hylobius transversovittatus* (Goeze, 1777) [14367] :

Gonflement du collet d'une salicaire par la présence d'une larve à la croissance avancée.

📖 Grancher (2013).

📍 Observations d'imagos rapportées par Grancher (2013) à Heurteauville (2012).

394. *Limobius borealis* (Paykull, 1792) [14324] :

Gonflement des boutons floraux des becs-de-grue.

📖 Grancher (2013).

📍 Observations d'imagos rapportées par Grancher (2013) à Anneville-Ambourville (2009).

395. *Lixus iridis* Olivier, 1807 [13977] :

Léger gonflement fusiforme d'un entre-nœud des tiges de diverses apiacées.

📖 Grancher (2013).

📍 Observations d'imagos rapportées par Grancher (2013) à Tancarville (2007) et Sandouville (2012). Observations d'imagos rapportées par l'intermédiaire du site internet collaboratif Inaturalist.org à Oudalle (2021) et Amfreville-la-Mi-Voie (2023).

396. *Mecinus dorsalis* Aubé, 1850 [16083] :

Gonflement du collet des linaires.

📖 Grancher (2013).

397. *Melanobaris laticollis* (Marsham, 1802) [242509] :

Léger gonflement du collet de diverses brassicacées.

📖 Grancher (2013).

398. *Mononychus punctumalbum* (Herbst, 1784) [14815] :

La larve de ce charançon déforme légèrement les fruits d'iris.

📍 Observations d'imagos rapportées par l'intermédiaire du site internet collaboratif Inaturalist.org à Gonfreville-l'Orcher (2022).

399. *Rhinocyllus conicus* (Frölich, 1792) [14145] :

Développement d'un tissu épais sur le réceptacle de divers chardons.

📍 Observations d'imagos rapportées par l'intermédiaire du site internet collaboratif Inaturalist.org à Oudalle (2022).

400. *Rhinusa antirrhini* (Paykull, 1800) [242398] :

Hypertrophies des fruits des gueules-de-loup et des linaires.

📖 Grancher (2013).

📍 Observations d'imagos rapportées par Grancher (2013) à La Poterie-Cap-d'Antifer (2001), Vattetot-sur-Mer (2001) et Les Loges (2009).

401. *Smicronyx jungermanniae* (Reiche, 1797) [16520] :

Excroissances de 3 à 6 mm de la tige des cuscutes.

📖 Grancher (2013).

402. *Thamnurgus kaltenbachii* (Bach, 1849) [242352] :

Renflement des tiges de diverses lamiacées.

📖 Martel (1893-1894), Noury (1955) pour les cécidies et Grancher (2013) pour les imagos.

403. *Tychius elegantulus* C. Brisout de Barneville, 1863 [15858] :

Gousse d'hypocrévide chevelue avec un petit renflement qui, même desséchée, reste vert.

📖 Grancher (2013).

404. *Tychius medicaginis* C. Brisout de Barneville, 1863 [15898] :

Déformation des gousses des luzernes cultivées.

📍 Observations d'imagos rapportées par Grancher (2013) à Sandouville (2000).

405. *Tychius meliloti* Stephens, 1831 [15911] :

Déformation des gousses des mélilots.

📖 Grancher (2013).

📍 Observations d'imagos rapportées par Grancher (2013) à Gonfreville-l'Orcher (2002), Saint-Jouin-Bruneval (2007) et La Mailleraye-sur-Seine (2008).

406. *Tychius parallelus* (Panzer, 1794) [15852] :

Déformation des gousses des genêts.

📖 Grancher (2013).

📍 Observations d'imagos rapportées par Grancher (2013) à La Mailleraye-sur-Seine (2003 et 2008), Forges-lesEaux (2007), Anneville-Ambourville (2009) et Saint-Arnoult (2009).

**407. *Tychius pusillus* Germar, 1842
[15921] :**

Déformation des gousses de différents trèfles.

📖 Grancher (2013).

📍 Observations d'imagos rapportées par Grancher (2013) à Anneville-Ambourville (2009).

Ce travail de compilation départementale recense donc la présence actuelle ou passée de 407 taxons d'animaux cécidogènes. Il est le résultat de l'interprétation des données anciennes, de compilation d'observations contemporaines éparses mais aussi d'un travail personnel sur 5 ans.

Parmi les 7 classes ou phylums étudiés, la majorité des organismes retenus comme cécidogènes sont des diptères (36 %), en particulier de la famille des Cecidomyiidae. Ensuite viennent les acariens Trombidiformes (22 %). Les guêpes gallogènes, qui pourtant dans l'imaginaire naturaliste populaire sont les animaux associés aux galles, arrivent seulement en 3^{ème} lieu (13 %). Cette proportion rejoint celle de Dauphin (1997) à l'échelle nationale et celle de nos observations départementales personnelles.

Sur ces 407 taxons, on peut apprécier que plus du tiers ont été observés récemment (209 taxons observés après le 1^{er} janvier 2000) et que plus de 17 % sont nouveaux pour le Département de la Seine-Maritime (70 nouveaux taxons référencés).

Discussion

Ces résultats sont, au premier abord, assez satisfaisants pour un groupe biologique non étudié depuis des décennies.

Il convient tout de même de les nuancer.

Tout d'abord, malgré nos efforts pour compulsier les publications anciennes, nous n'avons pas pu recenser exhaustivement toutes les données existantes. Il nous a été notamment impossible de consulter certains articles de Martel et de Noury cités dans diverses publications. De plus, la taxonomie et les critères de détermination de ces animaux ont beaucoup évolué et nous n'avons parfois pas pu retenir certaines données anciennes.

Par ailleurs, lorsqu'en Seine-Maritime on observe environ 407 espèces d'animaux cécidogènes, Dauphin en recense plus de 1 300 à l'échelle nationale (1997). Si l'on compare avec des pays limitrophes proches, Schneider (2023, communication personnelle) estime que quelque 450 espèces animales cécidogènes ont déjà été relevées au Luxembourg et au moins 600 en Belgique. Il y a donc nécessairement un grand nombre d'espèces qui ont échappé à notre attention.

Notre effort de prospection s'est aussi beaucoup limité à notre bassin de vie en Pays de Caux et peu en vallée de Seine et en Pays de Bray. Si la vallée de Seine a été prospectée par Martel et le Pays de Bray par Noury, cela ne compense pas un effort à mener aujourd'hui vers ces régions naturelles si riches en habitats floristiques.

Nous espérons que ce premier catalogue contribuera à illustrer d'une manière singulière la complexité de la biodiversité et que la dégradation des habitats même ordinaires (haies, prairies, friches...) affecte aussi des communautés d'animaux intimement liés à leur végétaux hôtes.

Dans un relevé taxonomique patrimonial, lorsque l'on veut mettre en avant un habitat ou une espèce végétale menacée, il peut être

opportun de mentionner également que ceux-ci sont le support d'autres organismes qui en dépendent et de pouvoir les nommer (au moins partiellement). Ainsi, nous espérons que l'observation des cécidies sera appréciée par les biologistes non pas comme de simples curiosités de la nature, si étonnantes soient-elles, mais surtout comme des opportunités de relever la présence d'animaux autrement difficile à observer.

Remerciements

Il nous est agréable de remercier Alain LEGUEST, secrétaire de la Société des Amis des Sciences Naturelles et du Muséum de Rouen, ainsi que Jérôme TABOUELLE, attaché principal de conservation, responsable des collections Sciences naturelles et Préhistoire à la Fabrique des savoirs-musée d'Elbeuf, pour leur aide précieuse pour consulter des ouvrages anciens de référence et leur sens du partage.

Merci aussi à Simon GAUDET qui a considérablement enrichi notre travail en nous partageant le projet d'article de Mouillé.

Je remercie chaleureusement Peter STALLEGGER pour ses nombreux encouragements, son aimable et constructive relecture, ainsi que pour son intarissable soif de découvertes naturalistes qui m'inspire depuis 20 ans.

Je remercie mon épouse et mes enfants pour leur soutien quotidien.

Références bibliographiques

BERLAND L. (1947) - Faune de France : 47, Hyménoptères tenthredoïdes, Paul Lechevalier, Volume 47.

BURTON L., CARBONNELLE S., ELLIS W.N., SCHNEIDER N. (2019) - Notules cécidologiques. Observations faites au Luxembourg (2015-2018). Bulletin de la Société des naturalistes luxembourgeois 121 : 135-151.

BURTON L., ELLIS W.N., SCHNEIDER N. (2022) - Notules cécidologiques. Observations faites au Luxembourg (2019-2021 et quelques observations antérieures). Bulletin de la Société des naturalistes luxembourgeois 124 : 25-43.

CHEVIN H. (2018) - Inventaire des Hyménoptères Symphytes (Tenthredes) des départements de l'Eure et de la Seine-Maritime, Bulletin SASNMR 2014-2015 : 145

DAUPHIN P., ANIOTSBEHERE J-C. (1997) : Les Galles de France. Mémoires Soc. Linn. Bordeaux, Tome 2.

ELLIS W.N. : Leafminers and plant galls of Europe. Sur <https://bladmineerders.nl/> (dernière consultation le 11/12/2023)

GRANCHER J. (2013) : Catalogue évolutif des Curculionidae de Haute-Normandie. Supplément de l'Entomologiste Haut-Normand

HOUARD C. (1913) : Cécidies Normandes. Bull. Soc. Linn. Norm., 6 : 102-121.

KIEFFER J. J. (1899) : Énumération des Cécidies recueillies aux Petites-Dalles (Seine-Inférieure), avec description de deux Cécidomyies nouvelles. Bulletin SASNMR 34 : 89-105

LAMBINON J., SCHNEIDER N., FEITZ F. (2012) : Contribution complémentaire à la connaissance des zoocécidies du Luxembourg. Bulletin de la Société des naturalistes luxembourgeois 113 : 167-187.

LISTON A.D. & Al. (2017) : North European gall-inducing Euura sawflies (Hymenoptera, Tenthredinidae, Nematinae). – Zootaxa 4032(1) : 1–115.

MARTEL V. (1893-1894) : Les Cécidies des environs d'Elbeuf. Deuxième liste de galles et galloïdes récoltés aux environs d'Elbeuf et sur quelques points du département de la Seine-Inférieure, en 1892 et 1893. Bull. Soc. étud. sci. nat. d'Elbeuf, 12 (1893) : 79-83 ; 13 (1894) : 54-57.

MOUILLE P. (1980) : Liste des captures de diptères en Normandie, Bull. Soc. étud. sci. nat. d'Elbeuf, 1973-79.

NOURY E. (1921) : Procès-verbal de la séance du 6 octobre 1921, SASNMR 17

NOURY E. (1922-1923) : Notes de cécidologie normande. II (suite). Description de *Timaspis lusitanicus* Tavares, Bulletin SASNMR 1922-23 : 43

NOURY E. (1925) : Procès-verbal de la séance du 2 juillet 1925. SASNMR.

NOURY E. (1929) : Sur quelques cécidies des fougères de la Haute-Normandie orientale. C.R. Ass. franc. Av. Sci, Paris, 53 : 449-450.

NOURY E. (1936). - Notes de cécidologie normande IV et VI, Bulletin SASNMR 1936.

NOURY E. (1936) : À propos de la Diptéroécidie de *Haplodiplosis equestris* (Wagn.). Rübs. Marcellia, 29 : 3-6.

NOURY E. (1948) : Notes de Cécidologie Normande. VIII, Bulletin SASNMR 1948 : 4

NOURY E. (1950) : Liste des Cécidies récoltées lors de l'excursion du 28 mai aux environs de Rouen, Bulletin de la Société Botanique de France, 97 : 7-9, 232-233

NOURY E. (1950) : Note de Cécidologie Normande. IX. Sur la présence de la Cécidomye du Chou-fleur (*Contarinis nasturtii* Kieffer) en Normandie, Bulletin SASNMR 1950 : 17

NOURY E. (1955) : Notes de cécidologie normande, cécidies de la Haute-Normandie orientale (biologie, répartition, parasites), Bulletin du 80ème congrès des Sociétés Savantes, 1955

NOURY E. (1965) : Sur plusieurs zoocécidies portées par la même feuille de chêne et dues à des cynipides d'espèces différentes, Revue des Sociétés Savantes de Haute-Normandie n°39

REDFERN M. & Al. (2023) : British plant galls. Ed. 3, Field Studies Council AIDGAP Guides, OP206.

SCHNEIDER N. (2016) - Notules cécidologiques. Observations faites au Luxembourg (2000-2015). Bulletin de la Société des naturalistes luxembourgeois 118 : 135-143

SKUHRAVÁ M., SKUHRAVY V., DAUPHIN P., COUTIN R. (2005) : Les Cécidomyies de France. Mémoires Soc. Linn. Bordeaux, Tome 5.

**Table des Animaux cécidogènes de la Seine-Maritime
par ordre taxonomique et alphabétique**

NUMERO DE CATALOGUE	CLASSE ou PHYLUM	ORDRE	FAMILLE	ESPECE	Taxon observé par C. POUCHARD	Taxon observé sous forme de larve	Taxon observé sous forme d'imago	Donnée cécidologique la plus ancienne	Donnée cécidologique la plus récente	Données cécidologiques nouvelles pour la Seine-Maritime
1	NEMATODA	Rhabditida	Anguinidae	<i>Ditylenchus dipsaci (Kühn, 1857)</i>			x	1893-1894	1893-1894	
2	ARACHNIDA	Trombidiformes	Eriophyidae	<i>Acalitus brevitarsus (Fockeu, 1890)</i>	x		x	1950	2018	
3	ARACHNIDA	Trombidiformes	Eriophyidae	<i>Acalitus calycophthirus (Nalepa, 1891)</i>	x		x	1893-1894	2020	
4	ARACHNIDA	Trombidiformes	Eriophyidae	<i>Acalitus essigi (Hassan, 1928)</i>	x		x	2023	2023	x
5	ARACHNIDA	Trombidiformes	Eriophyidae	<i>Acalitus longisetosus (Nalepa, 1892)</i>			x	1899	1899	
6	ARACHNIDA	Trombidiformes	Eriophyidae	<i>Acalitus rudis (Canestrini, 1890)</i>			x	1899	1899	
7	ARACHNIDA	Trombidiformes	Eriophyidae	<i>Acalitus stenaspis (Nalepa, 1891)</i>	x		x	1893-1894	2018	
8	ARACHNIDA	Trombidiformes	Eriophyidae	<i>Aceria aceriscampestris (Nalepa, 1922)</i>	x		x	2018	2022	x
9	ARACHNIDA	Trombidiformes	Eriophyidae	<i>Aceria anthonoma (Nalepa, 1892)</i>			x	1893-1894	1893-1894	
10	ARACHNIDA	Trombidiformes	Eriophyidae	<i>Aceria campestricola (Frauenfeld, 1865)</i>	x		x	2018	2019	x
11	ARACHNIDA	Trombidiformes	Eriophyidae	<i>Aceria centaureae (Nalepa, 1891)</i>	x		x	2019	2019	x
12	ARACHNIDA	Trombidiformes	Eriophyidae	<i>Aceria dispar (Nalepa, 1891)</i>			x	1893-1894	1893-1894	
13	ARACHNIDA	Trombidiformes	Eriophyidae	<i>Aceria echii (Canestrini, 1891)</i>			x	2023	2023	x
14	ARACHNIDA	Trombidiformes	Eriophyidae	<i>Aceria erinea (Nalepa, 1891)</i>	x		x	2018	2022	x

15	ARACHNIDA	Trombidiformes	Eriophyidae	<i>Aceria euaspis (Nalepa, 1892)</i>			x	1893-1894	1893-1894	
16	ARACHNIDA	Trombidiformes	Eriophyidae	<i>Aceria exigua (Liro, 1940)</i>			x	1899	1899	
17	ARACHNIDA	Trombidiformes	Eriophyidae	<i>Aceria fraxini (Garman, 1883)</i>			x	1893-1894	1893-1894	
18	ARACHNIDA	Trombidiformes	Eriophyidae	<i>Aceria fraxinivora (Nalepa, 1909)</i>	x		x	2019	2019	x
19	ARACHNIDA	Trombidiformes	Eriophyidae	<i>Aceria labiatiflorae (Thomas, 1872)</i>	x		x	2019	2019	x
20	ARACHNIDA	Trombidiformes	Eriophyidae	<i>Aceria laticincta (Nalepa, 1892)</i>	x		x	1893-1894	2021	
21	ARACHNIDA	Trombidiformes	Eriophyidae	<i>Aceria longiseta (Nalepa, 1891)</i>			x	1893-1894	1893-1894	
22	ARACHNIDA	Trombidiformes	Eriophyidae	<i>Aceria lycopersici (Wolffenstein, 1879)</i>	x		x	2023	2023	x
23	ARACHNIDA	Trombidiformes	Eriophyidae	<i>Aceria macrochela (Nalepa, 1891)</i>	x		x	2023	2023	x
24	ARACHNIDA	Trombidiformes	Eriophyidae	<i>Aceria macrocheluserinea (Trotter, 1902)</i>	x		x	2018	2018	x
25	ARACHNIDA	Trombidiformes	Eriophyidae	<i>Aceria macrorhyncha (Nalepa, 1889)</i>	x		x	1950	2023	
26	ARACHNIDA	Trombidiformes	Eriophyidae	<i>Aceria nalepai (Fockeu, 1890)</i>			x	1893-1894	1893-1894	
27	ARACHNIDA	Trombidiformes	Eriophyidae	<i>Aceria nervisequa (Canestrini, 1891)</i>			x	1899	1899	
28	ARACHNIDA	Trombidiformes	Eriophyidae	<i>Aceria ononidis (Canestrini, 1890)</i>			x	1899	1899	
29	ARACHNIDA	Trombidiformes	Eriophyidae	<i>Aceria peucedani (Canestrini, 1892)</i>	x		x	1909	2019	
30	ARACHNIDA	Trombidiformes	Eriophyidae	<i>Aceria pseudoplatani (Corti, 1905)</i>	x		x	2018	2019	x
31	ARACHNIDA	Trombidiformes	Eriophyidae	<i>Aceria sanguisorbae (Canestrini, 1892)</i>	x		x	1893-1894	2019	
32	ARACHNIDA	Trombidiformes	Eriophyidae	<i>Aceria tenella (Nalepa, 1892)</i>	x		x	1893-1894	2018	
33	ARACHNIDA	Trombidiformes	Eriophyidae	<i>Aceria tenuis (Nalepa, 1891)</i>			x	1899	1899	
34	ARACHNIDA	Trombidiformes	Eriophyidae	<i>Aceria thomasi (Nalepa, 1889)</i>	x		x	1893-1894	2019	
35	ARACHNIDA	Trombidiformes	Eriophyidae	<i>Aceria tristriata (Nalepa, 1890)</i>			x	1893-1894	1893-1894	

36	ARACHNIDA	Trombidiformes	Eriophyidae	<i>Aceria tuberculata (Nalepa, 1891)</i>	x		x	2021	2021	x
37	ARACHNIDA	Trombidiformes	Eriophyidae	<i>Aceria ulmi (Garman, 1883)</i>			x	1950	1950	
38	ARACHNIDA	Trombidiformes	Eriophyidae	<i>Aceria varia (Nalepa, 1892)</i>			x	1893-1894	1893-1894	
39	ARACHNIDA	Trombidiformes	Eriophyidae	<i>Aculops macrotrichus (Nalepa, 1889)</i>	x		x	2018	2018	x
40	ARACHNIDA	Trombidiformes	Eriophyidae	<i>Aculus convolvuli (Nalepa, 1891)</i>			x	1893-1894	1893-1894	
41	ARACHNIDA	Trombidiformes	Eriophyidae	<i>Aculus hippocastani (Fockeu, 1890)</i>	x		x	2018	2018	x
42	ARACHNIDA	Trombidiformes	Eriophyidae	<i>Aculus phyllocoptoides (Nalepa, 1891)</i>			x	1893-1894	1893-1894	
43	ARACHNIDA	Trombidiformes	Eriophyidae	<i>Aculus tetanothrix (Nalepa, 1889)</i>			x	2022	2022	x
44	ARACHNIDA	Trombidiformes	Eriophyidae	<i>Aculus teucris (Nalepa, 1892)</i>	x		x	1950	2019	
45	ARACHNIDA	Trombidiformes	Eriophyidae	<i>Anthocoptes platynotus Nalepa, 1892</i>			x	1893-1894	1893-1894	
46	ARACHNIDA	Trombidiformes	Eriophyidae	<i>Cecidophyes galii (Karpelles, 1884)</i>			x	1899	1899	
47	ARACHNIDA	Trombidiformes	Eriophyidae	<i>Cecidophyes gymnaspis (Nalepa, 1892)</i>			x	1893-1894	1893-1894	
48	ARACHNIDA	Trombidiformes	Eriophyidae	<i>Cecidophyes nudus Nalepa, 1891</i>	x		x	2019	2019	x
49	ARACHNIDA	Trombidiformes	Eriophyidae	<i>Cecidophyopsis psilaspis (Nalepa, 1893)</i>	x		x	1950	2018	
50	ARACHNIDA	Trombidiformes	Eriophyidae	<i>Cecidophyopsis ribis (Westwood, 1869)</i>	x		x	2019	2019	x
51	ARACHNIDA	Trombidiformes	Eriophyidae	<i>Colomerus vitis (Pagenstecher, 1857)</i>	x		x	2018	2018	x
52	ARACHNIDA	Trombidiformes	Eriophyidae	<i>Epitrimerus gibbosus (Nalepa, 1892)</i>			x	1899	1899	
53	ARACHNIDA	Trombidiformes	Eriophyidae	<i>Epitrimerus trilobus (Nalepa, 1891)</i>			x	1950	1950	
54	ARACHNIDA	Trombidiformes	Eriophyidae	<i>Eriophyes arianus (Canestrini, 1890)</i>			x	1893-1894	1893-1894	

55	ARACHNIDA	Trombidiformes	Eriophyidae	<i>Eriophyes crataegi</i> (Canestrini, 1890)	x		x	2018	2018	x
56	ARACHNIDA	Trombidiformes	Eriophyidae	<i>Eriophyes exilis</i> (Nalepa, 1892)	x		x	2018	2019	x
57	ARACHNIDA	Trombidiformes	Eriophyidae	<i>Eriophyes inangulis</i> Nalepa, 1919	x		x	2018	2020	x
58	ARACHNIDA	Trombidiformes	Eriophyidae	<i>Eriophyes laevis</i> (Nalepa, 1889)	x		x	2018	2018	x
59	ARACHNIDA	Trombidiformes	Eriophyidae	<i>Eriophyes leionotus</i> (Nalepa, 1891)	x		x	1899	2020	
60	ARACHNIDA	Trombidiformes	Eriophyidae	<i>Eriophyes leiosoma</i> (Nalepa, 1892)	x		x	1893-1894	2018	
61	ARACHNIDA	Trombidiformes	Eriophyidae	<i>Eriophyes pteridis</i> (Molliard, 1898)	x		x	1908	2018	
62	ARACHNIDA	Trombidiformes	Eriophyidae	<i>Eriophyes pyri</i> (Pagenstecher, 1857)	x		x	1899	2023	
63	ARACHNIDA	Trombidiformes	Eriophyidae	<i>Eriophyes similis</i> (Nalepa, 1890)	x		x	2018	2018	x
64	ARACHNIDA	Trombidiformes	Eriophyidae	<i>Eriophyes tiliae</i> (Pagenstecher, 1857)	x		x	2018	2023	x
65	ARACHNIDA	Trombidiformes	Eriophyidae	<i>Phyllocoptes goniothorax</i> (Nalepa, 1889)	x		x	1899	2018	
66	ARACHNIDA	Trombidiformes	Eriophyidae	<i>Phyllocoptes malinus</i> (Nalepa, 1892)			x	1893-1894	1893-1894	
67	ARACHNIDA	Trombidiformes	Eriophyidae	<i>Stenacis euonymi</i> (Frauenfeld, 1865)	x		x	2018	2018	x
68	ARACHNIDA	Trombidiformes	Eriophyidae	<i>Stenacis triradiata</i> (Nalepa, 1892)	x		x	1893-1894	2021	
69	ARACHNIDA	Trombidiformes	Phytoptidae	<i>Phytoptus avellanae</i> Nalepa, 1889	x		x	1950	2018	
70	INSECTA	Hemiptera	Adelgidae	<i>Adelges gr. laricis</i>	x	?	x	1893-1894	2020	
71	INSECTA	Hemiptera	Adelgidae	<i>Sacchiphantes abietis</i> (Linnaeus, 1758)		?	x	2020	2020	x
72	INSECTA	Hemiptera	Phylloxeridae	<i>Phylloxera coccinea</i> (von Heyden, 1837)		?	x	1893-1894	1921	
73	INSECTA	Hemiptera	Aphididae	<i>Aphis galiiscabri</i> Schrank, 1801		?	x	1893-1894	1893-1894	

74	INSECTA	Hemiptera	Aphididae	<i>Aphis grossulariae</i> Kaltenbach, 1843		?	x	1893-1894	1893-1894	
75	INSECTA	Hemiptera	Aphididae	<i>Aphis origani</i> Passerini, 1860		?	x	1950	1950	
76	INSECTA	Hemiptera	Aphididae	<i>Aphis pomi</i> De Geer, 1773		?	x	1893-1894	1893-1894	
77	INSECTA	Hemiptera	Aphididae	<i>Aphis rumicis</i> Linnaeus, 1758	x	?	x	2018	2018	x
78	INSECTA	Hemiptera	Aphididae	<i>Aphis ulmariae</i> Schrank, 1801		?	x	1950	1950	
79	INSECTA	Hemiptera	Aphididae	<i>Aphis urticata</i> J.F. Gmelin, 1790		?	x	1893-1894	1893-1894	
80	INSECTA	Hemiptera	Aphididae	<i>Aphis viburni</i> Scopoli, 1763	x	?	x	1893-1894	2018	
81	INSECTA	Hemiptera	Aphididae	<i>Brachycolus stellariae</i> (Hardy, 1850)		?	x	1893-1894	1899	
82	INSECTA	Hemiptera	Aphididae	<i>Brevicoryne brassicae</i> (Linnaeus, 1758)	x	?	x	1953	2023	
83	INSECTA	Hemiptera	Aphididae	<i>Cryptomyzus ribis</i> (Linnaeus, 1758)	x	?	x	2018	2023	x
84	INSECTA	Hemiptera	Aphididae	<i>Dysaphis gr. crataegi</i>	x	?	x	2019	2019	x
85	INSECTA	Hemiptera	Aphididae	<i>Dysaphis pyri</i> (Boyer de Fonscolombe, 1841)		?	x	1893-1894	1893-1894	
86	INSECTA	Hemiptera	Aphididae	<i>Eriosoma lanigerum</i> (Hausmann, 1802)	x	?	x	1893-1894	2019	
87	INSECTA	Hemiptera	Aphididae	<i>Eriosoma lanuginosum</i> (Hartig, 1839)	x	?	x	2019	2023	x
88	INSECTA	Hemiptera	Aphididae	<i>Eriosoma ulmi</i> (Linnaeus, 1758)	x	?	x	2018	2019	x
89	INSECTA	Hemiptera	Aphididae	<i>Hamamelistes betulinus</i> (Horvath, 1896)	x	?	x	2018	2018	x
90	INSECTA	Hemiptera	Aphididae	<i>Hyalopterus pruni</i> (Geoffroy, 1762)		?	x	1952	1952	
91	INSECTA	Hemiptera	Aphididae	<i>Megoura viciae</i> Buckton, 1876	x	?	x	2019	2019	x
92	INSECTA	Hemiptera	Aphididae	<i>Myzus cerasi</i> (Fabricius, 1775)	x	?	x	2019	2019	x
93	INSECTA	Hemiptera	Aphididae	<i>Myzus ligustri</i> (Mosley, 1841)	x	?	x	2018	2018	x
94	INSECTA	Hemiptera	Aphididae	<i>Pemphigus bursarius</i> (Linnaeus, 1758)	x	?	x	2018	2023	x
95	INSECTA	Hemiptera	Aphididae	<i>Pemphigus populinigrae</i> (Schrank, 1801)		?	x	1893-1894	1893-1894	

96	INSECTA	Hemiptera	Aphididae	<i>Pemphigus spyrothecae</i> Passerini, 1860	x	?	x	2018	2023	x
97	INSECTA	Hemiptera	Aphididae	<i>Rhopalomyzus loniceræ</i> (Kaltenbach, 1843)		?	x	1893-1894	1893-1894	
98	INSECTA	Hemiptera	Aphididae	<i>Tetraneura ulmi</i> (Linnaeus, 1758)	x	?	x	2018	2019	x
99	INSECTA	Hemiptera	Psyllidae	<i>Craspedolepta subpunctata</i> (Foerster, 1848)		x		1934	1934	
100	INSECTA	Hemiptera	Psyllidae	<i>Livia junci</i> (Schrank, 1789)	x	x		2018	2018	x
101	INSECTA	Hemiptera	Psyllidae	<i>Psylla buxi</i> (Linnaeus, 1758)	x	x		1950	2019	
102	INSECTA	Hemiptera	Psyllidae	<i>Psyllopsis fraxini</i> (Linnaeus, 1758)	x	x		1950	2022	
103	INSECTA	Hemiptera	Triozidae	<i>Lauritrioza alacris</i> (Flor, 1861)	x	x		2018	2018	x
104	INSECTA	Hemiptera	Triozidae	<i>Trioza centranthi</i> (Vallot, 1829)	x	x		1893-1894	2018	
105	INSECTA	Hemiptera	Tingidae	<i>Copium clavicornæ</i> (Linnaeus, 1758)		x		1893-1894	1893-1894	
106	INSECTA	Hemiptera	Tingidae	<i>Copium teucree</i> (Host, 1788)		x		1893-1894	1893-1894	
107	INSECTA	Lepidoptera	Pterophoridae	<i>Adaina microdactyla</i> (Hübner, 1813)	x	x		1911	1925	
108	INSECTA	Lepidoptera	Tortricidae	<i>Cydia servillana</i> (Duponchel, 1836)		x		1925	1925	
109	INSECTA	Lepidoptera	Tortricidae	<i>Gypsonoma aceriana</i> (Duponchel, 1843)		x		1908	1935	
110	INSECTA	Diptera	Agromyzidae	<i>Hexomyza sarothamni</i> (Hendel, 1923)		x		Avant 1968	Avant 1968	
111	INSECTA	Diptera	Agromyzidae	<i>Hexomyza schineri</i> (Giraud, 1861)		x	x	1894	Avant 1968	
112	INSECTA	Diptera	Anthomyiidae	<i>Chirosia betuleti</i> (Ringdahl, 1935)	x	x		1929	2020	
113	INSECTA	Diptera	Anthomyiidae	<i>Chirosia grossicauda</i> Strobl, 1899	x	x		1929	2018	
114	INSECTA	Diptera	Cecidomyiidae	<i>Ametrodiplosis duclosii</i> (Tavares, 1930)		x		1926	1927	

115	INSECTA	Diptera	Cecidomyiidae	<i>Anabremia bellevoeyi</i> (Kieffer, 1896)		x		1899	1899	
116	INSECTA	Diptera	Cecidomyiidae	<i>Anisostephus betulinus</i> (Kieffer, 1889)		x		1893-1894	1946	
117	INSECTA	Diptera	Cecidomyiidae	<i>Arnoldiola quercus</i> (Binnie, 1877)		x		Avant 1968	Avant 1968	
118	INSECTA	Diptera	Cecidomyiidae	<i>Asphondylia ervi</i> Rübsaamen, 1896		x		1901	1951	
119	INSECTA	Diptera	Cecidomyiidae	<i>Asphondylia hornigi</i> Wachtl, 1880		x		1910	1910	
120	INSECTA	Diptera	Cecidomyiidae	<i>Asphondylia melanopus</i> Kieffer, 1890		x		1926	1950	
121	INSECTA	Diptera	Cecidomyiidae	<i>Asphondylia miki</i> Wachtl, 1880		x		Avant 1968	Avant 1968	
122	INSECTA	Diptera	Cecidomyiidae	<i>Asphondylia ononidis</i> F. Löw, 1873		x		1946	1946	
123	INSECTA	Diptera	Cecidomyiidae	<i>Asphondylia pilosa</i> Kieffer, 1898		x		1946	1946	
124	INSECTA	Diptera	Cecidomyiidae	<i>Asphondylia sarothamni</i> (Loew, 1850)	x	x		1893-1894	2023	
125	INSECTA	Diptera	Cecidomyiidae	<i>Asphondylia ulicis</i> Trail, 1873		x		1907	1928	
126	INSECTA	Diptera	Cecidomyiidae	<i>Asphondylia verbasci</i> (Vallot, 1827)		x		Avant 1968	Avant 1968	
127	INSECTA	Diptera	Cecidomyiidae	<i>Bayeriola salicariae</i> (Kieffer, 1888)		x		1893-1894	1895	
128	INSECTA	Diptera	Cecidomyiidae	<i>Bayeriola thymicola</i> (Kieffer, 1888)	x	x		1890	2019	
129	INSECTA	Diptera	Cecidomyiidae	<i>Contarinia acerplicans</i> (Kieffer, 1889)		x		1921	1921	
130	INSECTA	Diptera	Cecidomyiidae	<i>Contarinia anthonoma</i> (Kieffer, 1890)		x		1894	Avant 1968	
131	INSECTA	Diptera	Cecidomyiidae	<i>Contarinia barbichei</i> (Kieffer, 1890)		x		1899	Avant 1968	
132	INSECTA	Diptera	Cecidomyiidae	<i>Contarinia carpini</i> Kieffer, 1897		x		1890	1894	
133	INSECTA	Diptera	Cecidomyiidae	<i>Contarinia coryli</i> (Kaltenbach, 1859)		x		1894	1954	

134	INSECTA	Diptera	Cecidomyiidae	<i>Contarinia echii</i> (Kieffer, 1895)		x		1891	Avant 1968	
135	INSECTA	Diptera	Cecidomyiidae	<i>Contarinia helianthemii</i> (Hardy, 1850)		x		1911	1911	
136	INSECTA	Diptera	Cecidomyiidae	<i>Contarinia jacobaeae</i> (Loew, 1850)		x		1899	1899	
137	INSECTA	Diptera	Cecidomyiidae	<i>Contarinia lonicerearum</i> (Löw, 1877)		x		1895	Avant 1968	
138	INSECTA	Diptera	Cecidomyiidae	<i>Contarinia loti</i> (De Geer, 1776)	x	x		1893-1894	2018	
139	INSECTA	Diptera	Cecidomyiidae	<i>Contarinia medicaginis</i> Kieffer, 1895		x		1939	1939	
140	INSECTA	Diptera	Cecidomyiidae	<i>Contarinia nasturtii</i> (Kieffer, 1888)		x		1948	1950	
141	INSECTA	Diptera	Cecidomyiidae	<i>Contarinia nikolayi</i> (Rübsaamen, 1895)		x		Avant 1968	Avant 1968	
142	INSECTA	Diptera	Cecidomyiidae	<i>Contarinia onobrychidis</i> Kieffer, 1895		x		1942	1942	
143	INSECTA	Diptera	Cecidomyiidae	<i>Contarinia ononidis</i> Kieffer, 1899		x		1899	1953	
144	INSECTA	Diptera	Cecidomyiidae	<i>Contarinia petioli</i> (Kieffer, 1898)	x	x		2018	2018	x
145	INSECTA	Diptera	Cecidomyiidae	<i>Contarinia pyrivora</i> (Riley, 1886)		x		Avant 1968	Avant 1968	
146	INSECTA	Diptera	Cecidomyiidae	<i>Contarinia quinquenotata</i> (F. Low, 1888)		x		2016	2016	x
147	INSECTA	Diptera	Cecidomyiidae	<i>Contarinia rhamni</i> (Rübsaamen, 1892)		x		Avant 1968	Avant 1968	
148	INSECTA	Diptera	Cecidomyiidae	<i>Contarinia sambuci</i> (Kaltenbach, 1873)	x	x		1893-1894	2019	
149	INSECTA	Diptera	Cecidomyiidae	<i>Contarinia scoparii</i> (Rübsaamen, 1889)		x		1893-1894	1893-1894	
150	INSECTA	Diptera	Cecidomyiidae	<i>Contarinia steini</i> (Karsch, 1881)	x	x		1890	2023	
151	INSECTA	Diptera	Cecidomyiidae	<i>Contarinia tiliarum</i> (Kieffer, 1890)	x	x		Avant 1968	2019	
152	INSECTA	Diptera	Cecidomyiidae	<i>Contarinia tritici</i> (Kirby, 1798)		x		1942	1942	

153	INSECTA	Diptera	Cecidomyiidae	<i>Craneobia corni</i> (Giraud, 1863)	x	x		1890	2019	
154	INSECTA	Diptera	Cecidomyiidae	<i>Cystiphora sanguinea</i> (Bremi, 1847)		x		1899	Avant 1968	
155	INSECTA	Diptera	Cecidomyiidae	<i>Cystiphora sonchi</i> (Vallot, 1827)	x	x		1899	2020	
156	INSECTA	Diptera	Cecidomyiidae	<i>Cystiphora taraxaci</i> (Kieffer, 1888)	x	x		1899	2019	
157	INSECTA	Diptera	Cecidomyiidae	<i>Dasineura acrophila</i> (Winnertz, 1853)		x		1899	1939	
158	INSECTA	Diptera	Cecidomyiidae	<i>Dasineura aparines</i> (Kieffer, 1889)	x	x		2018	2018	x
159	INSECTA	Diptera	Cecidomyiidae	<i>Dasineura asperulae</i> (F. Löw, 1875)		x		Avant 1968	Avant 1968	
160	INSECTA	Diptera	Cecidomyiidae	<i>Dasineura auricomi</i> (Kieffer, 1909)		x		1941	1941	
161	INSECTA	Diptera	Cecidomyiidae	<i>Dasineura auritae</i> Rübсаamen, 1916	x	x		2018	2018	x
162	INSECTA	Diptera	Cecidomyiidae	<i>Dasineura cerastii</i> (Binnie, 1877)		x		1899	1899	
163	INSECTA	Diptera	Cecidomyiidae	<i>Dasineura crataegi</i> (Winnertz, 1853)	x	x		1890	2019	
164	INSECTA	Diptera	Cecidomyiidae	<i>Dasineura dioicae</i> (Rübсаamen, 1895)				1944	1946	
165	INSECTA	Diptera	Cecidomyiidae	<i>Dasineura epilobii</i> (Low, 1889)		x		1910	1950	
166	INSECTA	Diptera	Cecidomyiidae	<i>Dasineura fraxini</i> (Bremi, 1847)	x	x		1899	2018	
167	INSECTA	Diptera	Cecidomyiidae	<i>Dasineura geisenheyneri</i> (Kieffer, 1904)		x		1910	1910	
168	INSECTA	Diptera	Cecidomyiidae	<i>Dasineura glechomae</i> (Kieffer, 1889)		x		1899	1931	
169	INSECTA	Diptera	Cecidomyiidae	<i>Dasineura hygrophila</i> (Mik, 1883)		x		1954	1954	
170	INSECTA	Diptera	Cecidomyiidae	<i>Dasineura hyperici</i> (Bremi, 1847)		x		1946	1946	
171	INSECTA	Diptera	Cecidomyiidae	<i>Dasineura irregularis</i> (Bremi, 1847)	x	x		1939	2018	

172	INSECTA	Diptera	Cecidomyiidae	<i>Dasineura kiefferi</i> Marchal, 1896		x		Avant 1968	Avant 1968	
173	INSECTA	Diptera	Cecidomyiidae	<i>Dasineura kiefferiana</i> (Rübsaamen, 1891)		x		1910	1937	
174	INSECTA	Diptera	Cecidomyiidae	<i>Dasineura lotharingiae</i> (Kieffer, 1888)		x		1937	1947	
175	INSECTA	Diptera	Cecidomyiidae	<i>Dasineura lupulinae</i> (Kieffer, 1891)		x		Avant 1968	Avant 1968	
176	INSECTA	Diptera	Cecidomyiidae	<i>Dasineura mali</i> (Kieffer, 1904)		x		1893-1894	1944	
177	INSECTA	Diptera	Cecidomyiidae	<i>Dasineura marginemtorquens</i> (Bremi, 1847)	x	x		1890	2018	
178	INSECTA	Diptera	Cecidomyiidae	<i>Dasineura medicaginis</i> (Bremi, 1847)		x		1952	1952	
179	INSECTA	Diptera	Cecidomyiidae	<i>Dasineura odoratae</i> Stelter, 1982	x	x		2018	2018	x
180	INSECTA	Diptera	Cecidomyiidae	<i>Dasineura papaveris</i> (Winnertz, 1890)		x		1954	1954	
181	INSECTA	Diptera	Cecidomyiidae	<i>Dasineura periclymeni</i> (Rübsaamen, 1889)		x		Avant 1968	Avant 1968	
182	INSECTA	Diptera	Cecidomyiidae	<i>Dasineura plicatrix</i> (Loew, 1850)	x	x		1890	2020	
183	INSECTA	Diptera	Cecidomyiidae	<i>Dasineura populeti</i> (Rübsaamen, 1889)	x	x		1899	2018	
184	INSECTA	Diptera	Cecidomyiidae	<i>Dasineura pteridicola</i> (Kieffer, 1901)		x		1929	1953	
185	INSECTA	Diptera	Cecidomyiidae	<i>Dasineura pteridis</i> (Müller, 1871)	x	x		1893-1894	2018	
186	INSECTA	Diptera	Cecidomyiidae	<i>Dasineura pulsatillae</i> (Kieffer, 1894)		x		1893	1893	
187	INSECTA	Diptera	Cecidomyiidae	<i>Dasineura pustulans</i> (Rübsaamen, 1889)		x		1950	1950	
188	INSECTA	Diptera	Cecidomyiidae	<i>Dasineura pyri</i> (Bouché, 1847)	x	x		1939	2018	x
189	INSECTA	Diptera	Cecidomyiidae	<i>Dasineura ranunculi</i> (Bremi, 1847)	x	x	x	1890	2023	
190	INSECTA	Diptera	Cecidomyiidae	<i>Dasineura rosae</i> (Bremi, 1847)	x	x		1890	2018	

191	INSECTA	Diptera	Cecidomyiidae	<i>Dasineura saxifragae</i> (Kieffer, 1891)		x		Avant 1968	Avant 1968	
192	INSECTA	Diptera	Cecidomyiidae	<i>Dasineura serotina</i> (Winnertz, 1853)		x		1899	Avant 1968	
193	INSECTA	Diptera	Cecidomyiidae	<i>Dasineura similis</i> (F. Löw, 1888)		x		1910	1910	
194	INSECTA	Diptera	Cecidomyiidae	<i>Dasineura sisymbrii</i> (Schrank, 1803)		x		1890	Avant 1968	
195	INSECTA	Diptera	Cecidomyiidae	<i>Dasineura strumosa</i> (Bremi, 1847)		x		1893-1894	1896	
196	INSECTA	Diptera	Cecidomyiidae	<i>Dasineura symphyti</i> (Rübsaamen, 1891)		x		Avant 1968	Avant 1968	
197	INSECTA	Diptera	Cecidomyiidae	<i>Dasineura thomasiana</i> (Kieffer, 1888)		x		1926	1926	
198	INSECTA	Diptera	Cecidomyiidae	<i>Dasineura tiliae</i> (Schrank, 1803)	x	x		1893-1894	2019	
199	INSECTA	Diptera	Cecidomyiidae	<i>Dasineura tortilis</i> (Bremi, 1847)		x		1953	1953	
200	INSECTA	Diptera	Cecidomyiidae	<i>Dasineura trifolii</i> (F. Löw, 1874)	x	x	x	1890	2023	
201	INSECTA	Diptera	Cecidomyiidae	<i>Dasineura trotteri</i> (Tavares, 1902)		x		Avant 1968	Avant 1968	
202	INSECTA	Diptera	Cecidomyiidae	<i>Dasineura tubicoloides</i> Gagné, 2004		x		1899	1953	
203	INSECTA	Diptera	Cecidomyiidae	<i>Dasineura turionum</i> (Kieffer & Trotter, 1904)				Avant 1968	Avant 1968	
204	INSECTA	Diptera	Cecidomyiidae	<i>Dasineura tympani</i> (Kieffer, 1909)		x		1950	1950	
205	INSECTA	Diptera	Cecidomyiidae	<i>Dasineura ulmaria</i> (Bremi, 1847)	x	x	x	1884	2018	
206	INSECTA	Diptera	Cecidomyiidae	<i>Dasineura urticae</i> (Perris, 1840)	x	x		1890	2022	
207	INSECTA	Diptera	Cecidomyiidae	<i>Dasineura viciae</i> (Kieffer, 1888)	x	x	x	1890	2022	
208	INSECTA	Diptera	Cecidomyiidae	<i>Dasineura violae</i> (F. Löw, 1880)		x	x	1890	1958	
209	INSECTA	Diptera	Cecidomyiidae	<i>Dasineura virgaeaureae</i> (Liebel, 1889)		x		1899	Avant 1968	

210	INSECTA	Diptera	Cecidomyiidae	<i>Didymomyia tiliacea</i> (Bremer, 1847)		x		1928	2023	
211	INSECTA	Diptera	Cecidomyiidae	<i>Diodaulus linariae</i> (Winnertz, 1853)		x		1899	Avant 1968	
212	INSECTA	Diptera	Cecidomyiidae	<i>Diodaulus traili</i> (Kieffer, 1889)		x		1899	Avant 1968	
213	INSECTA	Diptera	Cecidomyiidae	<i>Geocrypta galii</i> (Loew, 1850)	x	x		1884	2019	
214	INSECTA	Diptera	Cecidomyiidae	<i>Geocrypta trachelii</i> (Wachtl, 1885)		x		1890	1890	
215	INSECTA	Diptera	Cecidomyiidae	<i>Giraudiella inclusa</i> (Frauenfeld, 1862)		x		Avant 1968	Avant 1968	
216	INSECTA	Diptera	Cecidomyiidae	<i>Haplodiplosis marginata</i> (von Roser, 1840)		x		1913	1942	
217	INSECTA	Diptera	Cecidomyiidae	<i>Harmandiola cavernosa</i> (Rübsaamen, 1899)	x	x		Avant 1968	2018	
218	INSECTA	Diptera	Cecidomyiidae	<i>Harmandiola globuli</i> (Rübsaamen, 1889)	x	x		1894	2020	
219	INSECTA	Diptera	Cecidomyiidae	<i>Harmandiola tremulae</i> (Winnertz, 1853)		x		1894	1894	
220	INSECTA	Diptera	Cecidomyiidae	<i>Hartigiola annulipes</i> (Hartig, 1839)	x	x		1899	2022	
221	INSECTA	Diptera	Cecidomyiidae	<i>Hybolasioptera fasciata</i> (Kieffer, 1904)		x		1910	1910	
222	INSECTA	Diptera	Cecidomyiidae	<i>Iteomyia capreae</i> (Winnertz, 1853)		x		1899	2020	
223	INSECTA	Diptera	Cecidomyiidae	<i>Iteomyia major</i> (Kieffer, 1889)	x	x		2022	2022	x
224	INSECTA	Diptera	Cecidomyiidae	<i>Jaapiella dittrichi</i> (Rübsaamen, 1895)		x		1921	1950	
225	INSECTA	Diptera	Cecidomyiidae	<i>Jaapiella floriperda</i> (Low, 1888)	x	x		2020	2020	x
226	INSECTA	Diptera	Cecidomyiidae	<i>Jaapiella genisticola</i> (F. Löw, 1877)		x		Avant 1968	Avant 1968	
227	INSECTA	Diptera	Cecidomyiidae	<i>Jaapiella jaapiana</i> (Rübsaamen, 1914)		x		1952	1952	
228	INSECTA	Diptera	Cecidomyiidae	<i>Jaapiella veronicae</i> (Vallot, 1827)	x	x		1894	2018	

229	INSECTA	Diptera	Cecidomyiidae	<i>Janetia panteli</i> (Kieffer, 1909)		x		1910	1923	
230	INSECTA	Diptera	Cecidomyiidae	<i>Janetiella glechomae</i> Tavares, 1930		x		1920	1952	
231	INSECTA	Diptera	Cecidomyiidae	<i>Kaltenbachiola strobi</i> (Winnertz, 1853)		x		1921	1939	
232	INSECTA	Diptera	Cecidomyiidae	<i>Kiefferia pericarpiicola</i> (Bremi, 1847)	x	x		1893-1894	2018	
233	INSECTA	Diptera	Cecidomyiidae	<i>Lasioptera calamagrostidis</i> Rübsaamen, 1893		x		Avant 1968	Avant 1968	
234	INSECTA	Diptera	Cecidomyiidae	<i>Lasioptera carophila</i> F. Löw, 1874		x		1921	1950	
235	INSECTA	Diptera	Cecidomyiidae	<i>Lasioptera eryngii</i> (Vallot, 1829)		x		Avant 1968	Avant 1968	
236	INSECTA	Diptera	Cecidomyiidae	<i>Lasioptera populnea</i> Wachtl, 1883		x		Avant 1968	Avant 1968	
237	INSECTA	Diptera	Cecidomyiidae	<i>Lasioptera rubi</i> (Schrank, 1803)	x	x		1890	2021	
238	INSECTA	Diptera	Cecidomyiidae	<i>Lathyromyza schlehtendali</i> (Kieffer, 1886)		x		1910	1910	
239	INSECTA	Diptera	Cecidomyiidae	<i>Loewiola centaureae</i> (F. Löw, 1875)	x	x		1893-1894	2020	
240	INSECTA	Diptera	Cecidomyiidae	<i>Macrodiplosis pustularis</i> (Bremi, 1847)	x	x		1894	2018	
241	INSECTA	Diptera	Cecidomyiidae	<i>Macrodiplosis roboris</i> (Hardy, 1854)	x	x		1899	2018	
242	INSECTA	Diptera	Cecidomyiidae	<i>Macrolabis cirsii</i> (Rübsaamen, 1890)		x		1899	1899	
243	INSECTA	Diptera	Cecidomyiidae	<i>Macrolabis heraclei</i> Kaltenbach, 1862		x		1936	1950	
244	INSECTA	Diptera	Cecidomyiidae	<i>Macrolabis holostea</i> Rübsaamen, 1917		x		1954	1954	
245	INSECTA	Diptera	Cecidomyiidae	<i>Macrolabis marteli</i> Kieffer, 1892		x		1893-1894	1893-1894	
246	INSECTA	Diptera	Cecidomyiidae	<i>Macrolabis pilosellae</i> (Binnie, 1877)		x		1890	Avant 1968	

247	INSECTA	Diptera	Cecidomyiidae	<i>Macrolabis stellariae</i> (Liebel, 1889)		x		1946	1955	
248	INSECTA	Diptera	Cecidomyiidae	<i>Massalongia ruber</i> (Kieffer, 1890)		x		1899	1899	
249	INSECTA	Diptera	Cecidomyiidae	<i>Mayetiola dactylidis</i> Kieffer, 1896		x		1951	1951	
250	INSECTA	Diptera	Cecidomyiidae	<i>Mayetiola destructor</i> (Say, 1817)		x		1921	1921	
251	INSECTA	Diptera	Cecidomyiidae	<i>Mayetiola graminis</i> (Fourcroy, 1785)		x		1890	1955	
252	INSECTA	Diptera	Cecidomyiidae	<i>Mayetiola holci</i> Kieffer, 1896		x		1899	1899	
253	INSECTA	Diptera	Cecidomyiidae	<i>Mayetiola lanceolata</i> (Rübsaamen, 1895)		x		Avant 1968	Avant 1968	
254	INSECTA	Diptera	Cecidomyiidae	<i>Mayetiola radificata</i> (Rübsaamen, 1895)		x		1913	1937	
255	INSECTA	Diptera	Cecidomyiidae	<i>Mikiola fagi</i> (Hartig, 1839)	x	x		1950	2022	
256	INSECTA	Diptera	Cecidomyiidae	<i>Monarthropalpus flavus</i> (Schrank, 1776)	x	x		1950	2018	
257	INSECTA	Diptera	Cecidomyiidae	<i>Obolodiplosis robiniae</i> (Haldeman, 1847)	x	x		2018	2023	x
258	INSECTA	Diptera	Cecidomyiidae	<i>Oligotrophus juniperinus</i> (Linnaeus, 1758)		x		1937	1937	
259	INSECTA	Diptera	Cecidomyiidae	<i>Ozirhincus longicollis</i> Rondani, 1840		x		Avant 1968	Avant 1968	
260	INSECTA	Diptera	Cecidomyiidae	<i>Ozirhincus millefolii</i> (Wachtl, 1884)		x		Avant 1968	Avant 1968	
261	INSECTA	Diptera	Cecidomyiidae	<i>Physemocecis hartigi</i> (Liebel, 1892)	x	x		1950	2023	
262	INSECTA	Diptera	Cecidomyiidae	<i>Physemocecis ulmi</i> (Kieffer, 1909)		x		1895	1895	
263	INSECTA	Diptera	Cecidomyiidae	<i>Placochela nigripes</i> (F. Löw, 1877)		x		1910	1910	
264	INSECTA	Diptera	Cecidomyiidae	<i>Planetella gallarum</i> (Rübsaamen, 1899)				1928	1928	
265	INSECTA	Diptera	Cecidomyiidae	<i>Planetella gr. caricis</i>	x	x		1909	2021	

266	INSECTA	Diptera	Cecidomyiidae	<i>Putoniella pruni</i> (Kaltenbach, 1872)	x	x		1911	2019	
267	INSECTA	Diptera	Cecidomyiidae	<i>Rabdophaga albipennis</i> (Loew, 1850)		x		1957	1957	
268	INSECTA	Diptera	Cecidomyiidae	<i>Rabdophaga clavifex</i> (Kieffer, 1891)		x		1893-1894	1945	
269	INSECTA	Diptera	Cecidomyiidae	<i>Rabdophaga dubiosa</i> Kieffer, 1913	x	x		1893-1894	2022	
270	INSECTA	Diptera	Cecidomyiidae	<i>Rabdophaga heterobia</i> (Loew, 1850)		x		1890	1938	
271	INSECTA	Diptera	Cecidomyiidae	<i>Rabdophaga iteobia</i> (Kieffer, 1890)		x		1890	1890	
272	INSECTA	Diptera	Cecidomyiidae	<i>Rabdophaga nervorum</i> (Kieffer, 1895)		x		1935	1935	
273	INSECTA	Diptera	Cecidomyiidae	<i>Rabdophaga pierrei</i> (Kieffer, 1896)		x		Avant 1968	Avant 1968	
274	INSECTA	Diptera	Cecidomyiidae	<i>Rabdophaga pulvini</i> (Kieffer, 1891)		x		1914	1914	
275	INSECTA	Diptera	Cecidomyiidae	<i>Rabdophaga rosaria</i> (Loew, 1850)	x	x		1890	2021	
276	INSECTA	Diptera	Cecidomyiidae	<i>Rabdophaga rosariella</i> (Kieffer, 1897)		x		1910	1910	
277	INSECTA	Diptera	Cecidomyiidae	<i>Rabdophaga saliciperda</i> (Dufour, 1841)		x		1909	1943	
278	INSECTA	Diptera	Cecidomyiidae	<i>Rabdophaga salicis</i> (Schrank, 1803)	x	x		1910	2022	
279	INSECTA	Diptera	Cecidomyiidae	<i>Rabdophaga terminalis</i> (Loew, 1850)		x		1908	1939	
280	INSECTA	Diptera	Cecidomyiidae	<i>Resseliella betulicola</i> (Kieffer, 1889)		x		1894	1899	
281	INSECTA	Diptera	Cecidomyiidae	<i>Rhopalomyia foliorum</i> (Loew, 1850)		x		1925	1953	
282	INSECTA	Diptera	Cecidomyiidae	<i>Rhopalomyia hypogaea</i> (F. Löw, 1885)		x		Avant 1968	Avant 1968	

283	INSECTA	Diptera	Cecidomyiidae	<i>Rhopalomyia millefolii</i> (Loew, 1850)		x		1890	1890	
284	INSECTA	Diptera	Cecidomyiidae	<i>Rhopalomyia ptarmicae</i> (Vallot, 1849)		x		1890	Avant 1968	
285	INSECTA	Diptera	Cecidomyiidae	<i>Rhopalomyia tanaceticola</i> (Karsch, 1879)		x		1890	Avant 1968	
286	INSECTA	Diptera	Cecidomyiidae	<i>Rondaniola bursaria</i> (Bremi, 1847)	x	x		1890	2018	
287	INSECTA	Diptera	Cecidomyiidae	<i>Sackenomyia reaumurii</i> (Bremi, 1847)		x		Avant 1968	Avant 1968	
288	INSECTA	Diptera	Cecidomyiidae	<i>Schizomyia galiorum</i> Kieffer, 1889		x		1899	1955	
289	INSECTA	Diptera	Cecidomyiidae	<i>Semudobia betulae</i> (Winnertz, 1853)	x	x		1899	2019	
290	INSECTA	Diptera	Cecidomyiidae	<i>Spurgia euphorbiae</i> (Vallot, 1827)		x		1913	1933	
291	INSECTA	Diptera	Cecidomyiidae	<i>Stefaniella ceconii</i> Kieffer, 1909		x		1934	1934	
292	INSECTA	Diptera	Cecidomyiidae	<i>Stefaniella trinacriae</i> Stefani, 1900				Avant 1968	Avant 1968	
293	INSECTA	Diptera	Cecidomyiidae	<i>Taxomyia taxi</i> (Inchbald, 1861)	x	x		1890	2018	
294	INSECTA	Diptera	Cecidomyiidae	<i>Wachtliella persicariae</i> (Linnaeus, 1767)	x	x		Avant 1968	2018	
295	INSECTA	Diptera	Cecidomyiidae	<i>Wachtliella stachydis</i> (Bremi, 1847)		x	x	1890	1942	
296	INSECTA	Diptera	Cecidomyiidae	<i>Zeuxidiplosis giardi</i> (Kieffer, 1896)		x		1890	1954	
297	INSECTA	Diptera	Cecidomyiidae	<i>Zygiobia carpini</i> (F. Löw, 1874)	x	x		1890	2019	
298	INSECTA	Diptera	Chloropidae	<i>Chlorops pumilionis</i> (Bjerkander, 1778)		x		1921	1955	
299	INSECTA	Diptera	Chloropidae	<i>Chlorops strigulus</i> (Fabricius, 1794)		x	x	1909	1953	
300	INSECTA	Diptera	Chloropidae	<i>Lipara lucens</i> Meigen, 1830		x	x	1911	1955	
301	INSECTA	Diptera	Chloropidae	<i>Lipara rufitarsis</i> Loew, 1858		x		1924	1954	

302	INSECTA	Diptera	Tephritidae	<i>Acanthiophilus helianthi</i> (Rossi, 1794)			x	1910	1910	
303	INSECTA	Diptera	Tephritidae	<i>Anomoia purmunda</i> (Harris, 1780)			x	2021	2021	x
304	INSECTA	Diptera	Tephritidae	<i>Dithryca guttularis</i> (Meigen, 1826)			x	1915	1942	
305	INSECTA	Diptera	Tephritidae	<i>Euphranta connexa</i> (Fabricius, 1794)			x	1909	1912	
306	INSECTA	Diptera	Tephritidae	<i>Noeeta pupillata</i> (Fallén, 1814)		x	x	1893-1894	1943	
307	INSECTA	Diptera	Tephritidae	<i>Oxyna flavipennis</i> (Loew, 1844)		x	x	1912	2023	
308	INSECTA	Diptera	Tephritidae	<i>Oxyna nebulosa</i> (Wiedemann, 1817)		x	x	1915	1942	
309	INSECTA	Diptera	Tephritidae	<i>Sphenella marginata</i> (Fallén, 1814)		x	x	1899	2023	
310	INSECTA	Diptera	Tephritidae	<i>Tephritis bardanae</i> (Schrank, 1803)			x	1917	2023	
311	INSECTA	Diptera	Tephritidae	<i>Tephritis leontodontis</i> (De Geer, 1776)		x	x	1917	1943	
312	INSECTA	Diptera	Tephritidae	<i>Tephritis neesii</i> (Meigen, 1830)			x	2009	2009	x
313	INSECTA	Diptera	Tephritidae	<i>Terellia tussilaginis</i> (Fabricius, 1775)			x	2010	2010	x
314	INSECTA	Diptera	Tephritidae	<i>Urophora cardui</i> (Linnaeus, 1758)	x	x		2013	2018	x
315	INSECTA	Diptera	Tephritidae	<i>Urophora quadrifasciata</i> (Meigen, 1826)			x	1910	1924	
316	INSECTA	Diptera	Tephritidae	<i>Urophora solstitialis</i> (Linnaeus, 1758)			x	1899	1943	
317	INSECTA	Diptera	Tephritidae	<i>Urophora stylata</i> (Fabricius, 1775)			x	1917	1925	
318	INSECTA	Diptera	Tephritidae	<i>Xyphosia miliaria</i> (Schrank, 1781)			x	2010	2010	x
319	INSECTA	Hymenoptera	Cynipidae	<i>Andricus curvator</i> Hartig, 1840	x	x		1899	2018	
320	INSECTA	Hymenoptera	Cynipidae	<i>Andricus foecundatrix</i> (Hartig, 1840)	x	x		2018	2018	x

321	INSECTA	Hymenoptera	Cynipidae	<i>Andricus inflator</i> Hartig, 1840		x		1893-1894	1899	
322	INSECTA	Hymenoptera	Cynipidae	<i>Andricus kollari</i> (Hartig, 1843)	x	x		1893-1894	2023	
323	INSECTA	Hymenoptera	Cynipidae	<i>Andricus quercuscalicis</i> (Burgsdorff, 1783)		x		2021	2022	x
324	INSECTA	Hymenoptera	Cynipidae	<i>Andricus quercusradicis</i> (Fabricius, 1798)		x		1899	1899	
325	INSECTA	Hymenoptera	Cynipidae	<i>Aulacidea hieracii</i> (Linnaeus, 1758)		x		1899	1950	
326	INSECTA	Hymenoptera	Cynipidae	<i>Aylax minor</i> Hartig, 1840		x		1893-1894	1899	
327	INSECTA	Hymenoptera	Cynipidae	<i>Biorhiza pallida</i> (Olivier, 1791)	x	x		2018	2023	x
328	INSECTA	Hymenoptera	Cynipidae	<i>Cynips agama</i> Hartig, 1840		x		1964	1964	
329	INSECTA	Hymenoptera	Cynipidae	<i>Cynips divisa</i> Hartig, 1840	x	x		1945	2021	
330	INSECTA	Hymenoptera	Cynipidae	<i>Cynips longiventris</i> Hartig, 1840	x	x		1899	2019	
331	INSECTA	Hymenoptera	Cynipidae	<i>Cynips quercusfolii</i> Linnaeus, 1758		x		1899	2022	
332	INSECTA	Hymenoptera	Cynipidae	<i>Diastrophus rubi</i> (Bouché, 1834)	x	x		2019	2019	x
333	INSECTA	Hymenoptera	Cynipidae	<i>Diplolepis eglanteriae</i> (Hartig, 1840)	x	x		2018	2018	
334	INSECTA	Hymenoptera	Cynipidae	<i>Diplolepis mayri</i> (Schlechtendal, 1877)		x		1893-1894	1893-1894	
335	INSECTA	Hymenoptera	Cynipidae	<i>Diplolepis rosae</i> (Linnaeus, 1758)	x	x		2018	2023	x
336	INSECTA	Hymenoptera	Cynipidae	<i>Diplolepis spinosissima</i> (Giraud, 1859)		x		1893-1894	1893-1894	
337	INSECTA	Hymenoptera	Cynipidae	<i>Dryocosmus kuriphilus</i> Yasumatsu, 1951	x	x		2022	2022	x
338	INSECTA	Hymenoptera	Cynipidae	<i>Isocolus scabiosae</i> (Giraud, 1859)		x		1893-1894	1893-1894	
339	INSECTA	Hymenoptera	Cynipidae	<i>Liposthenes glechomae</i> (Linnaeus, 1758)	x	x		2018	2018	x

340	INSECTA	Hymenoptera	Cynipidae	<i>Neuroterus albipes</i> (Schenck, 1863)	x	x		1899	2020	
341	INSECTA	Hymenoptera	Cynipidae	<i>Neuroterus anthracinus</i> (Curtis, 1838)	x	x		1899	2020	
342	INSECTA	Hymenoptera	Cynipidae	<i>Neuroterus numismalis</i> (Fourcroy, 1785)	x	x		1899	2018	
343	INSECTA	Hymenoptera	Cynipidae	<i>Neuroterus quercusbaccarum</i> (Linnaeus, 1758)	x	x		1899	2020	
344	INSECTA	Hymenoptera	Cynipidae	<i>Neuroterus tricolor</i> (Hartig, 1841)		x		1899	1899	
345	INSECTA	Hymenoptera	Cynipidae	<i>Pediaspis aceris</i> (Gmelin, 1790)	x	x		2019	2023	x
346	INSECTA	Hymenoptera	Cynipidae	<i>Phanacis hypochoeridis</i> (Kieffer, 1887)	x	x		1893-1894	2020	
347	INSECTA	Hymenoptera	Cynipidae	<i>Timaspis lusitanica</i> Tavares, 1904		x		1914	1914	
348	INSECTA	Hymenoptera	Cynipidae	<i>Xestophanes brevitarsis</i> (Thomson, 1877)		x		1899	1899	
349	INSECTA	Hymenoptera	Cynipidae	<i>Xestophanes potentillae</i> (Retzius in De Geer, 1773)		x		1899	1899	
350	INSECTA	Hymenoptera	Eurytomidae	<i>Tetramesa hyalipennis</i> (Walker, 1832)	x	x		1941	2023	
351	INSECTA	Hymenoptera	Tenthredinidae	<i>Euura atra</i> (Jurine, 1807)			x	1921	1921	
352	INSECTA	Hymenoptera	Tenthredinidae	<i>Euura brevicornis</i> (Förster, 1854)	x	x		2021	2021	x
353	INSECTA	Hymenoptera	Tenthredinidae	<i>Euura bridgmanii</i> (Cameron, 1883)	x	x		2021	2021	x
354	INSECTA	Hymenoptera	Tenthredinidae	<i>Euura leucosticta</i> (Hartig, 1837)			x	1987	1987	
355	INSECTA	Hymenoptera	Tenthredinidae	<i>Euura mucronata</i> (Hartig, 1837)			x	2009	2009	x
356	INSECTA	Hymenoptera	Tenthredinidae	<i>Euura pedunculi</i> (Hartig, 1837)		x		1893-1894	1952	
357	INSECTA	Hymenoptera	Tenthredinidae	<i>Euura proxima</i> (Audinet-Serville, 1823)	x	x		1899	2022	
358	INSECTA	Hymenoptera	Tenthredinidae	<i>Euura scotaspis</i> (Förster, 1854)			x	1947	1947	

359	INSECTA	Hymenoptera	Tenthredinidae	<i>Euura viminalis (Linnaeus, 1758)</i>		x		1954	1954	
360	INSECTA	Coleoptera	Cerambycidae	<i>Saperda populnea (Linnaeus, 1758)</i>	x			1893-1894	2020	
361	INSECTA	Coleoptera	Brentidae	<i>Betulapion simile (W. Kirby, 1811)</i>			x	avant 1947	2009	
362	INSECTA	Coleoptera	Brentidae	<i>Catapion pubescens (Kirby, 1811)</i>			x	avant 1947	avant 1947	
363	INSECTA	Coleoptera	Brentidae	<i>Catapion seniculus (Kirby, 1808)</i>			x	avant 1947	2001	
364	INSECTA	Coleoptera	Brentidae	<i>Cyanapion gyllenhalii (Kirby, 1808)</i>			x	avant 1947	avant 1947	
365	INSECTA	Coleoptera	Brentidae	<i>Holotrichapion aethiops (Herbst, 1797)</i>			x	avant 1947	avant 1947	
366	INSECTA	Coleoptera	Brentidae	<i>Holotrichapion pisi (Fabricius, 1801)</i>			x	avant 1947	1996	
367	INSECTA	Coleoptera	Brentidae	<i>Malvapion malvae (Fabricius, 1775)</i>			x	avant 1947	2020	
368	INSECTA	Coleoptera	Brentidae	<i>Nanomimus hemisphaericus (Olivier, 1807)</i>			x	avant 1947	avant 1947	
369	INSECTA	Coleoptera	Brentidae	<i>Omphalapion laevigatum (Paykull, 1792)</i>			x	avant 1947	avant 1947	
370	INSECTA	Coleoptera	Brentidae	<i>Perapion affine (Kirby, 1808)</i>			x	avant 1947	2012	
371	INSECTA	Coleoptera	Brentidae	<i>Perapion marchicum (Herbst, 1797)</i>			x	avant 1947	2008	
372	INSECTA	Coleoptera	Brentidae	<i>Phrissotrichum rugicolle (Germar, 1817)</i>			x	avant 1947	avant 1947	
373	INSECTA	Coleoptera	Brentidae	<i>Pirapion immune (Kirby, 1808)</i>			x	avant 1947	2008	
374	INSECTA	Coleoptera	Brentidae	<i>Protapion apricans (Herbst, 1797)</i>			x	avant 1947	2008	
375	INSECTA	Coleoptera	Brentidae	<i>Protapion varipes (Germar, 1817)</i>			x	avant 1947	2007	
376	INSECTA	Coleoptera	Brentidae	<i>Protopirapion atratum (Germar, 1817)</i>			x	avant 1947	2008	

377	INSECTA	Coleoptera	Brentidae	<i>Squamapion atomarium</i> (Kirby, 1808)			x	avant 1947	avant 1947	
378	INSECTA	Coleoptera	Brentidae	<i>Squamapion vicinum</i> (Kirby, 1808)			x	avant 1947	avant 1947	
379	INSECTA	Coleoptera	Brentidae	<i>Stenopterapion scutellare</i> (Kirby, 1811)			x	avant 1947	2012	
380	INSECTA	Coleoptera	Brentidae	<i>Taeniapion urticarium</i> (Herbst, 1784)			x	2002	2008	x
381	INSECTA	Coleoptera	Curculionidae	<i>Acentrotypus brunnipes</i> (Boheman, 1839)			x	avant 1947	avant 1947	
382	INSECTA	Coleoptera	Curculionidae	<i>Anthonomus pomorum</i> (Linnaeus, 1758)		x	x	1893-1894	2011	
383	INSECTA	Coleoptera	Curculionidae	<i>Anthonomus rubi</i> (Herbst, 1795)			x	avant 1947	2020	
384	INSECTA	Coleoptera	Curculionidae	<i>Ceutorhynchus assimilis</i> (Paykull, 1792)			x	avant 1947	avant 1947	
385	INSECTA	Coleoptera	Curculionidae	<i>Ceutorhynchus atomus</i> Boheman, 1845			x	avant 1947	2009	
386	INSECTA	Coleoptera	Curculionidae	<i>Ceutorhynchus chalybaeus</i> Germar, 1824			x	avant 1947	avant 1947	
387	INSECTA	Coleoptera	Curculionidae	<i>Ceutorhynchus hirtulus</i> Germar, 1824			x	avant 1947	2009	
388	INSECTA	Coleoptera	Curculionidae	<i>Cleonis pigra</i> (Scopoli, 1763)			x	avant 1947	2021	
389	INSECTA	Coleoptera	Curculionidae	<i>Dorytomus taeniatus</i> (Fabricius, 1781)			x	avant 1947	2008	
390	INSECTA	Coleoptera	Curculionidae	<i>Gymnetron aper</i> Desbrochers des Loges, 1892			x	avant 1947	avant 1947	
391	INSECTA	Coleoptera	Curculionidae	<i>Gymnetron melanarium</i> (Germar, 1821)			x	avant 1947	avant 1947	
392	INSECTA	Coleoptera	Curculionidae	<i>Gymnetron villosulum</i> Gyllenhal, 1838			x	avant 1947	avant 1947	
393	INSECTA	Coleoptera	Curculionidae	<i>Hylobius transversovittatus</i> (Goeze, 1777)			x	avant 1947	2012	
394	INSECTA	Coleoptera	Curculionidae	<i>Limobius borealis</i> (Paykull, 1792)			x	1979-1980	2009	

395	INSECTA	Coleoptera	Curculionidae	<i>Lixus iridis Olivier, 1807</i>			x	avant 1947	2023	
396	INSECTA	Coleoptera	Curculionidae	<i>Mecinus dorsalis Aubé, 1850</i>			x	avant 1947	avant 1947	
397	INSECTA	Coleoptera	Curculionidae	<i>Melanobaris laticollis (Marsham, 1802)</i>			x	avant 1947	avant 1947	
398	INSECTA	Coleoptera	Curculionidae	<i>Mononychus punctumalbum (Herbst, 1784)</i>			x	2022	2022	x
399	INSECTA	Coleoptera	Curculionidae	<i>Rhinocyllus conicus (Frölich, 1792)</i>			x	2022	2022	x
400	INSECTA	Coleoptera	Curculionidae	<i>Rhinusa antirrhini (Paykull, 1800)</i>			x	avant 1947	2009	
401	INSECTA	Coleoptera	Curculionidae	<i>Smicronyx jungermanniae (Reiche, 1797)</i>			x	avant 1947	avant 1947	
402	INSECTA	Coleoptera	Curculionidae	<i>Thamnurgus kaltenbachii (Bach, 1849)</i>		x	x	1893-1894	1952	
403	INSECTA	Coleoptera	Curculionidae	<i>Tychius elegantulus C. Brisout de Barneville, 1863</i>			x	avant 1947	avant 1947	
404	INSECTA	Coleoptera	Curculionidae	<i>Tychius medicaginis C. Brisout de Barneville, 1863</i>			x	2000	2000	x
405	INSECTA	Coleoptera	Curculionidae	<i>Tychius meliloti Stephens, 1831</i>			x	avant 1947	2008	
406	INSECTA	Coleoptera	Curculionidae	<i>Tychius parallelus (Panzer, 1794)</i>			x	avant 1947	2009	
407	INSECTA	Coleoptera	Curculionidae	<i>Tychius pusillus Germar, 1843</i>			x	2009	2009	x